

# PRAĆENJE STANJA RADIOAKTIVNOSTI U OKOLIŠU U REPUBLICI HRVATSKOJ

*Izvještaj za 2023. godinu  
LXIII. godina*



Zagreb, 2024.



Institut za  
medicinska  
istraživanja  
i medicinu  
rada

IMI-CRZ-104

Klasa: 07-75/24-00/1

Ur.Broj: 100-15/24-13

## PRAĆENJE STANJA RADIOAKTIVNOSTI U OKOLIŠU U REPUBLICI HRVATSKOJ

*Izvještaj za 2023. godinu*

LXIII. godina

### *Zavod za zaštitu od zračenja*

Predstojnik Zavoda:

Suradnici:

Prof. dr. sc. Branko Petrinec, prof. fizike

Mak Avdić, mag. ing. kem. tehn.

Dr. sc. Dinko Babić, dipl. ing. fizike

Dr. sc. Tomislav Bituh, dipl. ing. preh. tehn.

Tea Čvorišćec, mag. ing. agr, mag. sanit. ing.

Iva Franulović, dipl. ing. biotehn.

Dragutin Hasenay, mag. chem

Milica Kovačić, dipl. ing. kem.

Nora Miljanić, mag. educ. phys.

Prof. dr. sc. Branko Petrinec, prof. fizike

Ljerka Petroci

Dr. sc. Davor Rašeta, dipl. ing. el.

Jasminka Senčar

Petra Tagliaretti, mag. chem.

Dr. sc. Branimir Zauner, dipl. ing. fiz.

Predstojnik  
Zavoda za zaštitu od zračenja:

Prof. dr. sc. Branko Petrinec, prof. fizike



Ravnateljica Instituta za medicinska  
istraživanja i medicinu rada:

Prof. dr. sc. Ana Lucić Vrdoljak, dipl. ing. med. biokem.

Zagreb, 2024.

## SADRŽAJ

<b>SAŽETAK / ABSTRACT .....</b>	<b>5</b>
<b>UVOD .....</b>	<b>6</b>
<b>TABLČNI PRIKAZ OBAVLJENIH POSLOVA IZ GODIŠnjEG PROGRAMA .....</b>	<b>7</b>
<b>KOORDINATE MJESTA MJERENJA I UZIMANJA UZORAKA .....</b>	<b>11</b>
<b>POPIS I KARAKTERISTIKE MJERNE OPREME .....</b>	<b>13</b>
<b>1. AMBIJENTALNI DOZNI EKVIVALENT .....</b>	<b>14</b>
1.D    Mjerenje ambijentalnog doznog ekvivalenta $H^*(10)$ .....	15
<b>2. ZRAK .....</b>	<b>16</b>
2.B    Ukupna beta aktivnost zraka.....	17
2.G    Gamaspektrometrijska analiza zraka.....	18
2.S    Specifično određivanje $^{90}\text{Sr}$ u zraku .....	22
2.J    Specifično određivanje $^{131}\text{I}$ u zraku.....	23
<b>3. OBORINA.....</b>	<b>24</b>
Količina oborine u 2023. godini.....	25
3.B    Ukupna beta aktivnost oborine.....	28
3.G    Gamaspektrometrijska analiza oborine.....	29
3.S    Specifično određivanje $^{90}\text{Sr}$ u oborinama.....	32
<b>4. TLO .....</b>	<b>33</b>
4.G    Gamaspektrometrijska analiza tla .....	34
4.S    Specifično određivanje $^{90}\text{Sr}$ u tlu .....	38
<b>5. RIJEKE .....</b>	<b>41</b>
5.G    Gamaspektrometrijska analiza riječnih voda .....	42
5.S    Specifično određivanje $^{90}\text{Sr}$ u riječnim vodama.....	45
<b>6. JEZERA .....</b>	<b>47</b>
6.G    Gamaspektrometrijska analiza jezerskih voda.....	48
6.S    Specifično određivanje $^{90}\text{Sr}$ u jezerskim vodama .....	48
<b>7. MORE .....</b>	<b>49</b>
7.1.G    Gamaspektrometrijska analiza morske vode .....	50
7.1.S    Specifično određivanje $^{226}\text{Ra}$ u morskoj vodi.....	51
7.1.S    Specifično određivanje $^{90}\text{Sr}$ u morskoj vodi .....	51
7.2.G    Gamaspektrometrijska analiza mobilnih indikatorskih organizama.....	52
7.2.G    Specifično određivanje $^{90}\text{Sr}$ u mobilnim indikatorskim organizmima.....	53

<b>8. VODA ZA PIĆE.....</b>	<b>54</b>
8.1.G    Gamaspektrometrijska analiza vodovodnih voda.....	55
8.1.S    Specifično određivanje $^{90}\text{Sr}$ u vodovodnoj vodi.....	56
8.2.G    Gamaspektrometrijska analiza voda iz spremnika za kišnicu .....	57
8.2.s    Specifično određivanje $^{90}\text{Sr}$ u vodama iz spremnika za kišnicu.....	57
<b>9. TERMALNE VODE.....</b>	<b>58</b>
9.G    Gamaspektrometrijska analiza termalnih voda .....	59
9.S    Specifično određivanje $^{90}\text{Sr}$ u termalnim vodama.....	59
<b>10. MINERALNE IZVORSKE VODE .....</b>	<b>60</b>
10.G    Gamaspektrometrijska analiza mineralnih izvorskih voda.....	61
10.S    Specifično određivanje $^{90}\text{Sr}$ u mineralnim izvorskim vodama.....	61
<b>11. PREHRAMBENI ARTIKLI.....</b>	<b>62</b>
11.1.G    Gamaspektrometrijska analiza mlijeka.....	63
11.1.S    Specifično određivanje $^{90}\text{Sr}$ u mlijeku .....	66
11.2.G    Gamaspektrometrijska analiza ljudske hrane.....	69
11.2.S    Specifično određivanje $^{90}\text{Sr}$ u ljudskoj hrani.....	72
11.3.G    Gamaspektrometrijska analiza cjelovitih obroka hrane.....	75
11.3.S    Specifično određivanje $^{90}\text{Sr}$ u cjelovitim obrocima hrane.....	76
<b>10. STOČNA HRANA.....</b>	<b>77</b>
10.G    Gamaspektrometrijska analiza stočne hrane .....	78
10.S    Specifično određivanje $^{90}\text{Sr}$ u stočnoj hrani.....	78
<b>ZAKLJUČAK .....</b>	<b>79</b>

**PRILOG 1:** *Izvještaj o ispitivanju: Praćenje stanja radioaktivnosti u okolišu u Republici Hrvatskoj tijekom 2023. godine.*

Određivanje radionuklida visokorezolucijskom gamaspektrometrijom u energijskom rasponu od 40 do 2000 keV.

Određivanje koncentracije aktivnosti  $^{90}\text{Sr}$

Određivanje koncentracije aktivnosti  $^{226}\text{Ra}$

**PRILOG 2:** CD s podacima u elektroničkom obliku.

## SAŽETAK

Program mjerjenja radioaktivnosti u okolišu u Republici Hrvatskoj za 2023. godinu nastavak je kontinuiranih mjerena od 1959. godine.

Od 2010. godine Institut za medicinska istraživanja i medicinu rada akreditiran je prema Normi HRN EN ISO/IEC 17025 za područja: Određivanje radioaktivnosti i Ispitivanja u području zaštite od ionizirajućeg zračenja.

Uzimanje uzorka, radiohemiju obradu i mjerjenje provodi Zavod za zaštitu od zračenja, Instituta za medicinska istraživanja i medicinu rada u Zagrebu. U skladu s preporukama Direktive Vijeća 2013/59/Euratom od 5. prosinca 2013. godine o osnovnim sigurnosnim standardima za zaštitu od opasnosti koje potječu od izloženosti ionizirajućem zračenju, program je obuhvatio sve važnije sastavnice okoliša - zrak, oborine, tlo, geografske i pitke vode te ljudsku i stočnu hranu.

Svrha ovih istraživanja je prikupiti što veći broj podataka na temelju kojih se može procijeniti utjecaj na čovjeka.

## ABSTRACT

The radioactivity measurement programme in the environment of the Republic of Croatia for the year 2023 is a part of continuous measurements that have started in 1959.

From 2010 Institute for Medical Research and Occupational Health is accredited laboratory according to Standard HRN EN ISO/IEC 17025 in the scope: Determination of radioactivity and Testing in the scope of ionizing radiation protection.

Sampling, radiochemical analyses and measurements were carried out by the Division of Radiation Protection of the Institute for Medical Research and Occupational Health, Zagreb. The scope of the monitoring of contamination in the environmental samples according to the Council Directive 2013/59/Euratom of 5<sup>th</sup> December 2013 laying down basic safety standards for protection against the dangers arising from exposure to ionising radiation, the program included all major environmental components: air, precipitation, soil, water, foodstuffs and feedingstuffs.

The purpose of these investigations is to collect as many data as possible for the assessment of radiation risk to man.

## UVOD

Institut za medicinska istraživanja i medicinu rada sklopio je 17.9.2024. ugovor s Ministarstvom unutarnjih poslova RH „Podaci o praćenju stanja radioaktivnosti u okolišu za 2023. godinu u Republici Hrvatskoj; Grupa 2 – Podaci o vrstama i aktivnostima radionuklida u zraku, tlu, moru, rijekama, jezerima, krutim i tekućim oborinama, vodi za piće, kišnici, bioindikatorskim organizmima, mlijeku, hrani i hrani za životinje (Klasa: 406-09/24-04/202, Ur.br: 511-01-169-24-10).

Mjerenja i uzorkovanja provedena su sukladno Godišnjem programu praćenja stanja okoliša za 2023. godinu prikazanog u slijedećoj tablici:

## TABLIČNI PRIKAZ OBAVLJENIH POSLOVA IZ GODIŠNJE PROGRAMA

Medij	Mjerna metoda, radionuklid u uzorku	Lokacije	Broj god mjerena	Provedeno uzorkovanje i mjerene*
Praćenje vrste i aktivnosti radionuklida u zraku	ukupna beta aktivnost	Zagreb N45.78; E15.90	12	✓
	VR gama spektrometrija	Zagreb N45.85;E15.98	12	✓
		Zadar N44.1;E15.25	4	✓
		Osijek N45.55;E18.70	4	✓
	<sup>90</sup> Sr -specifično mjerene	Zagreb N45.85;E15.98	2	✓
	<sup>131</sup> I	Zagreb N45.78; E15.90	12	✓
Praćenje vrste i aktivnosti radionuklida u oborinama	ukupna beta aktivnost	Zagreb N45.78; E15.90	12	✓
	VR gama spektrometrija	Zagreb N45.78; E15.90	4	✓
		Zadar N44.10;E15.25	4	✓
		Osijek N45.55;E18.70	2	✓
		Bjelovar N44.53;E15.38	2	✓
		Pula N44.86;E14.20	2	✓
		Rijeka N45.33;E14.46	2	✓
		Dubrovnik N42.65;E18.10	2	✓
	<sup>90</sup> Sr - specifična metoda	Zagreb N45.78; E15.90	2	✓(4)
Praćenje vrste i aktivnosti radionuklida u tlu	VR gama spektrometrija	6 regije Zagreb, Zadar, Osijek, Gospic, Opuzen, Istra - 3 sloja (0-5, 5-10, 10-15)	18	✓
	<sup>90</sup> Sr - specifična metoda	6 regije Zagreb, Zadar, Osijek, Gospic, Opuzen, Istra - 3 sloja (0-5, 5-10, 10-15)	18	✓
Praćenje vrste i aktivnosti radionuklida u bioindikatorskim organizmima	VR gama spektrometrija	7 lokacija duž jadranske obale (Pula,Plominski zaljev, Rijeka, Zadar, Split, Kaštelanski zaljev, Dubrovnik)	7	✓
	<sup>90</sup> Sr - specifična metoda	7 lokacija duž jadranske obale (Pula,Plominski zaljev, Rijeka, Zadar, Split, Kaštelanski zaljev, Dubrovnik)	7	✓

\*u zagradama je broj analiziranih uzoraka

Medij	Mjerna metoda, radionuklid u uzorku	Lokacije	Broj god mjerena	Provjedeno uzorkovanje i mjerene*	
vodovodna voda	VR gama spektrometrija	Zagreb	4	✓	
		Osijek	1	✓	
		Rijeka	1	✓	
		Split	1	✓	
		Dubrovnik	1	✓	
	$^{90}\text{Sr}$ - specifično mjerene	Zagreb	2	✓(4)	
		Osijek	1	✓	
		Rijeka	1	✓	
		Split	1	✓	
		Dubrovnik	1	✓	
spremnici za kišnicu	VR gama spektrometrija	Bale N45.03;E13.78	1	✓	
		Doli N42.49;E17.80	1	✓	
		Marina N43.51;E17.80	1	✓	
		Pag N44.43;E15.06	1	✓	
	$^{90}\text{Sr}$ - specifično mjerene	Bale N45.03;E13.78	1	✓	
		Doli N42.49;E17.80	1	✓	
		Marina N43.51;E17.80	1	✓	
		Pag N44.43;E15.06	1	✓	
Termalne vode	VR gama spektrometrija	3 lokacije (Istarske toplice, Bizovačke toplice i Tuheljske toplice)	3	✓	
	$^{90}\text{Sr}$ - specifično mjerene	3 lokacije (Istarske toplice, Bizovačke toplice i Tuheljske toplice)	3	✓	
Mineralne vode	VR gama spektrometrija	2 lokacije (Jamnica i Jana)	2	✓	
	$^{90}\text{Sr}$ - specifično mjerene	2 lokacije (Jamnica i Jana)	2	✓	
Praćenje vrste i aktivnosti radionuklida u hrani	Hrana pojedinačno, najčešće korištene namirnice - povrća, voće, meso, ribe, žitarice; divljač, šumsko voće, gljive. 8-10 uzoraka po regiji	VR gama spektrometrija	3 regije- Zagreb, Zadar, Osijek	36	✓
		$^{90}\text{Sr}$ - specifično mjerene	3 regije- Zagreb, Zadar, Osijek	36	✓
	Cjeloviti obroci	VR gama spektrometrija	Zagreb vrtići ili menze	5	✓
		$^{90}\text{Sr}$ - specifično mjerene	Zagreb vrtići ili menze	5	✓

\*u zagradama je broj analiziranih uzoraka

Medij		Mjerna metoda, radionuklid u uzorku	Lokacije	Broj god mjerena	Provjedeno uzorkovanje i mjerene*
Praćenje vrste i aktivnosti radionuklida u površinskim vodama	Rijeke	VR gama spektrometrija	Sava Zagreb N45.79;E15.98	6	✓
			Sava Harmica N45.86;E15.69	6	✓
			Sava Sisak N45.48;E15.98	6	✓
			Sava Županja N45.08; E18.69	2	✓
			Drava -Varaždin N46.32;E16.36	2	✓
			Drava - Osijek N45.55;E18.70	2	✓
			Dunav- Batina N45.85;E18.85	2	✓
			Dunav-Vukovar N45.35;E19.01	2	✓
			Neretva Opuzen N43.04;E17,55	1	✓
			Krka N43.80;15.96	1	✓
	90Sr - specifično mjerene / rezidual beta	90Sr - specifično mjerene / rezidual beta	Sava Zagreb N45.79;E15.98	4	✓
			Sava Harmica N45.86;E15.69	4	✓
			Sava Sisak N45.48;E15.98	4	✓
			Sava Županja N45.08; E18.69	2	✓
			Drava -Varaždin N46.32;E16.36	2	✓
Jezera	Jezera	VR gama spektrometrija	Drava - Osijek N45.55;E18.70	2	✓
			Dunav- Batina N45.85;E18.85	2	✓
	90Sr - specifična metoda/ rezidual beta	90Sr - specifična metoda/ rezidual beta	Dunav-Vukovar N45.35;E19.01	2	✓
			Plitvička jezera N43.88;E 15.61	2	✓
		90Sr - specifična metoda/ rezidual beta	Vransko jezero N43.92;E15.51	2	✓
			Plitvička jezera N43.88;E 15.61	1	✓
			Vransko jezero N43.92;E15.51	1	✓
			Pula N44.86;E14.20	2	✓
Morska voda	Morska voda	gama spektrometrija	Plominski zaljev N45.15;E14,17	2	✓
			Rijeka N45.23;E14.25	2	✓
			Zadar N44.1;E15.25	2	✓
			Split N43.50;E16.43	2	✓
			Kaštelanski Zaljev N43.54;E16.34	2	✓
			Dubrovnik N42.69;E18.04	2	✓
			Pula, Rijeka, Zadar, Kaštelanski zaljev, Dubrovnik	4	✓
	226Ra	226Ra	2 lokacije Plomin i Kaštela	4	✓

\*u zagradama je broj analiziranih uzoraka

Medij	Mjerna metoda, radionuklid u uzorku	Lokacija	Broj god mjerena	Provedeno uzorkovanje i mjerene*
Praćenje vrste i aktivnosti radionuklida u mlijeku	VR gama spektrometrija	Zagreb	12	✓
		Osijek	4	✓(6)
		Varaždin	4	✓(6)
		Zadar	4	✓(6)
	$^{90}\text{Sr}$ - specifično mjerjenje	Zagreb	12	✓
		Osijek	4	✓(6)
		Varaždin	4	✓(6)
		Zadar	4	✓(6)
Praćenje vrste i aktivnosti radionuklida u hrani za životinje	VR gama spektrometrija	slavonska i priobalna regija - trava, lucerna, silaža	6	✓
	$^{90}\text{Sr}$ - specifično mjerjenje	slavonska i priobalna regija - trava, lucerna, silaža	3	✓

\*u zagradama je broj analiziranih uzoraka

Zavod za zaštitu od zračenja nastavio je dugogodišnje praćenje sezonskih razlika  $^{90}\text{Sr}$  u oborinama i vodovodnoj vodi, stoga je određivanje koncentracije aktivnosti  $^{90}\text{Sr}$  u uzorcima oborina i vodovodnoj vodi na lokaciji Zagreb provedeno u tromjesečnim uzorcima, umjesto polugodišnjim kako je zadano planom. Provedena su mjerena koncentracije aktivnosti  $^{90}\text{Sr}$  u polugodišnjim uzorcima oborina na lokacijama Osijek i Zadar što nije zadano planom. Također je u uzorcima mlijeka iz Osijeka, Varaždina i Zadra napravljeno uzorkovanje i određivanje koncentracije aktivnosti  $^{90}\text{Sr}$  u dvomjesečnim uzorcima, umjesto tromjesečnim kako je zadano planom.

## GEOGRAFSKE KOORDINATE MJESTA MJERENJA I UZMANJA UZORAKA

Mjesto	Geografska širina	Geografska dužina	Nadmorska visina
	N	E	m
Bale	45°02'22,78"	13°47'10,11"	142
Batina	45°50'41,15"	18°51'16,79"	80
Bizovačke toplice	45°34'49,76"	18°27'35,28"	94
Bjelovar	45°53'52,64"	16°50'30,38"	135
Buzet	45°23'43,12"	13°55'56,35"	50
Čakovec	46°23'23,25"	16°26'16,63"	164
Doli	42°48'48,73"	17°46'56,39"	110
Dubrovnik	42°41'26,40"	18°02'24,33"	0
Dubrovnik	42°38'41,71"	18°05'6,07"	50
Dvor	45°04'16,00"	16°22'32,00"	167
Đakovo	45°18'36,35"	18°24'37,10"	111
Gospić	44°30'54,30"	15°18'24,25"	565
Istarske toplice	45°22'38,64"	13°53'07,8"	18
Jamnica	45°35'50,86"	15°52'32,88"	288
Jana	45°42'56,77"	15°35'31,96"	143
Karlovac	45°32'11,53"	15°35'18,23"	112
Konavli	42°34'47,57"	18°13'05,76"	161
Kostajnica	45°13'41,61"	16°32'24,52"	113
Kutina	45°28'38,2"	16°46'46,9"	104
Marina	43°30'47,13"	16°06'36,84"	4
Matijevići	45°03'02,32"	16°22'07,26"	126
Molve	46°06'32,43"	17°00'10,17"	121
Osijek	45°34'00,81"	18°39'58,17"	81
Pag	44°38'38,09"	14°47'15,98"	71
Petrinja	45°26'26,08"	16°16'34,78"	10
Plitvice	44°52'49,62"	15°37'03,28"	613
Plomin	45°08'02,67"	14°10'35,04	0
Pula	44°52'59,74"	13°51'37,37"	20
Pula	44°52'18,05"	13°50'32,96"	0
Rijeka	45°14'15,56"	14°15'21,05"	0
Rijeka	45°22'1,99"	14°25'3,76"	367

## GEOGRAFSKE KOORDINATE MJESTA MJERENJA I UZIMANJA UZORAKA

Mjesto	Geografska širina	Geografska dužina	Nadmorska visina
	N	E	m
Sisak	45°28'58,15"	15°23'14,58"	99
Slavonski Brod	45°09'34,21"	18°01'11,26"	92
Skradin	43°48'06,24"	15°57'54,14"	64
Split	43°30'25,28"	16°26'21,57"	0
Tuheljske toplice	46°3'52,49"	15°47'1,75"	151
Varaždin	46°19'18,64"	16°21'24,72"	173
Vrana	43°55'47,37"	15°30'45,04"	113
Vukovar	45°21'21,38"	19°0'5,07"	77
Zadar	44°07'48,29"	15°12'21,50"	1
Zagreb - IMI	45°50'02,50"	15°58'42,86"	165
Zagreb - Sava	45°47'23,24"	15°58'51,41"	111
Županja	45°04'19,22"	18°41'05,40"	80

## POPIS I KARAKTERISTIKE MJERNE OPREME

**Određivanje radionuklida visokorezolucijskom gamaspektrometrijom u energijskom rasponu 40 – 2000 keV:**

- Ge(Li) detektor ORTEC  
(rezolucija 1,87 keV na 1,33 MeV,  $^{60}\text{Co}$ , relativna efikasnost 15,4 % na 1,33 MeV,  $^{60}\text{Co}$ )
- HP Ge GEM detektor ORTEC  
(rezolucija 1,75 keV na 1,33 MeV,  $^{60}\text{Co}$ , relativna efikasnost 21 % na 1,33 MeV,  $^{60}\text{Co}$ )
- HP Ge GMX detektor ORTEC  
(rezolucija 2,24 keV na 1,33 MeV,  $^{60}\text{Co}$ , relativna efikasnost 74,3 % na 1,33 MeV,  $^{60}\text{Co}$ )
- P-type coaxial detector Canberra  
(rezolucija 1,90 keV na 1,33 MeV,  $^{60}\text{Co}$ , relativna efikasnost 54 % na 1,33 MeV,  $^{60}\text{Co}$ )
- HP Ge GEM50 detektor ORTEC  
(rezolucija 1,90 keV na 1,33 MeV,  $^{60}\text{Co}$ , relativna efikasnost 50 % na 1,33 MeV,  $^{60}\text{Co}$ )
- HP Ge GEM100 detektor ORTEC  
(rezolucija 2,10 keV na 1,33 MeV,  $^{60}\text{Co}$ , relativna efikasnost 100 % na 1,33 MeV,  $^{60}\text{Co}$ )
- HP Ge GEM130 detektor ORTEC  
(rezolucija 2,10 keV na 1,33 MeV,  $^{60}\text{Co}$ , relativna efikasnost 130 % na 1,33 MeV,  $^{60}\text{Co}$ )

Detektori su smješteni u olovne oklope kako bi se osiguralo nisko osnovno zračenje; povezani su s višekanalnim analizatorima za skupljanje spektara. Spektri se analiziraju na računalima s instaliranim programskim paketima za obradu spektara. Programska paket za analizu spektara je GammaVision proizvođača ORTEC.

**Određivanje koncentracije aktivnosti  $^{90}\text{Sr}$ , ukupna beta:**

BETA multicounter system RISØ GM-25-5A

(4 sustava s ukupno 20 detektora; efikasnosti brojača ~23% za  $^{90}\text{Y}$ )

**Određivanje koncentracije aktivnosti  $^{226}\text{Ra}$ :**

Alpha Analyst PIPS detector- Canberra

(10 detektora; aktivna površina 450 mm<sup>2</sup>, alfa rezolucija za  $^{241}\text{Am}$  19 keV; efikasnost ~12-15%)

**Mjerenje ambijentalnog doznog ekvivalenta**

Pasivni uređaji za mjerenje ambijentalnog doznog ekvivalenta

TLD Panasonic UD-804

Uredaj za mjerenje brzine ambijentalnog doznog ekvivalenta (ALARA)

Kalibracija efikasnosti svih detektora (gama, beta, alfa) provodi se redovito certificiranim standardima, osiguranje kvalitete određivanja radionuklida provodi se sustavnim sudjelovanjima u međulaboratorijskim ispitivanjima u organizaciji Međunarodne agencije za atomsku energiju (IAEA) i Zajedničkog istraživačkog centra JRC EC.

# 1. AMBIJENTALNI DOZNI EKVIVALENT



## 1. MJERENJE AMBIJENTALNOG DOZNOG EKVIVALENTA, $H^*(10)$

Mjerenja ambijentalnog dozng ekvivalenta  $H^*(10)$  nužna su za potpunu procjenu stanja radioaktivnosti u okolišu RH. Ovo poglavlje izrađeno je izdvojeno u izvješću IMI-CRZ-105 „PRAĆENJE STANJA RADIOAKTIVNOSTI U OKOLIŠU U REPUBLICI HRVATSKOJ Mjerenje ambijentalnog doznog ekvivalenta“ (Klasa: 07-75/24-00/1, ur.br. 100-15/24-14).

## 2. ZRAK



## 2.B UKUPNA BETA AKTIVNOST ZRAKA

Uzorci zraka za određivanje ukupne beta aktivnosti skupljaju se pumpanjem srednjeg volumena zraka ( $V \approx 100-300 \text{ m}^3/\text{dnevno}$ ) preko Schneider-Poelman plavih filtera. Dnevni uzorci se mjere antikoincidentnim beta brojačem niskog osnovnog zračenja Low-level beta GM multounter system model RISØ GM-25-5A.

### PROSJECI, MAKSIMALNE I MINIMALNE VRIJEDNOSTI

#### ZAGREB

Mjesec	Prosjek	Maksimum	Minimum
	$\text{Bqm}^{-3}$		
Siječanj	$(7,64 \pm 0,23)\text{E-4}$	$(1,99 \pm 0,04)\text{E-3}$	$(1,71 \pm 0,13)\text{E-4}$
Veljača	$(9,49 \pm 0,19)\text{E-4}$	$(2,48 \pm 0,03)\text{E-3}$	$(3,05 \pm 0,01)\text{E-4}$
Ožujak	$(4,98 \pm 0,24)\text{E-4}$	$(1,29 \pm 0,02)\text{E-3}$	$(6,90 \pm 0,81)\text{E-5}$
Travanj	$(4,58 \pm 0,21)\text{E-4}$	$(1,08 \pm 0,04)\text{E-3}$	$(1,58 \pm 0,16)\text{E-4}$
Svibanj	$(5,23 \pm 0,20)\text{E-4}$	$(1,06 \pm 0,03)\text{E-3}$	$(1,48 \pm 0,08)\text{E-4}$
Lipanj	$(6,29 \pm 0,23)\text{E-4}$	$(9,43 \pm 0,03)\text{E-4}$	$(3,11 \pm 0,12)\text{E-4}$
Srpanj	$(6,09 \pm 0,20)\text{E-4}$	$(1,47 \pm 0,04)\text{E-3}$	$(1,00 \pm 0,09)\text{E-4}$
Kolovoz	$(8,56 \pm 0,20)\text{E-4}$	$(2,56 \pm 0,03)\text{E-3}$	$(1,08 \pm 0,17)\text{E-4}$
Rujan	$(9,44 \pm 0,26)\text{E-4}$	$(2,06 \pm 0,03)\text{E-3}$	$(1,58 \pm 0,10)\text{E-4}$
Listopad	$(1,48 \pm 0,03)\text{E-3}$	$(2,98 \pm 0,06)\text{E-3}$	$(9,10 \pm 1,48)\text{E-5}$
Studeni	$(4,00 \pm 0,25)\text{E-4}$	$(9,71 \pm 0,39)\text{E-4}$	$(1,35 \pm 0,12)\text{E-4}$
Prosinac	$(6,07 \pm 0,23)\text{E-4}$	$(1,48 \pm 0,05)\text{E-3}$	$(1,81 \pm 0,21)\text{E-4}$
Prosjek	$(7,26 \pm 0,23)\text{E-4}$		
Maksimum	$(1,48 \pm 0,03)\text{E-3}$	$(2,98 \pm 0,06)\text{E-3}$	
Minimum	$(4,00 \pm 0,25)\text{E-4}$		$(6,90 \pm 0,81)\text{E-5}$

## 2.G GAMASPEKTROMETRIJSKA ANALIZA ZRAKA

Na lokaciji IMI – Ksaverska cesta uzorci zraka skupljaju se pumpanjem velikog volumena zraka pomoću ASS-500 HVS (High volume sampler) pumpe kroz Petrianov filtre (FPP-15-1.5) jedan i pol metar iznad tla ( $V \approx 400.000 \text{ m}^3/\text{mjesec}$ ). Nakon gamaspektrometrijskog mjerenja, filtri se spajaju u polugodišnji uzorak i radiokemijski se određuje  $^{90}\text{Sr}$ . Na lokacijama Zadar i Osijek uzorci se skupljaju pumpanjem srednjeg volumena zraka ( $V \approx 100-300 \text{ m}^3/\text{dan}$ ) kroz Schneider-Poelman plave filtre. Specifično određivanje  $^{131}\text{I}$  u zraku provodi se pumpanjem srednjeg volumena zraka ( $V \approx 100-300 \text{ m}^3/\text{dan}$ ) kroz ugljeni filter tipa: TE1C TEDA Charcoal Cartrige. Gamaspektrometrijskom analizom svih uzoraka provjerena je prisutnost slijedećih radionuklida:

- radionuklidi fizijskog porijekla (36 radionuklida):

$^{24}\text{Na}$ ,  $^{51}\text{Cr}$ ,  $^{54}\text{Mn}$ ,  $^{56}\text{Mn}$ ,  $^{57}\text{Co}$ ,  $^{58}\text{Co}$ ,  $^{60}\text{Co}$ ,  $^{59}\text{Fe}$ ,  $^{65}\text{Zn}$ ,  $^{88}\text{Pb}$ ,  $^{95}\text{Zr}$ ,  $^{95}\text{Nb}$ ,  $^{99}\text{Mo}$ ,  $^{99\text{m}}\text{Te}$ ,  $^{103}\text{Ru}$ ,  $^{106}\text{Ru}$ ,  $^{110\text{m}}\text{Ag}$ ,  $^{124}\text{Sb}$ ,  $^{125}\text{Sb}$ ,  $^{129}\text{I}$ ,  $^{131}\text{I}$ ,  $^{132}\text{I}$ ,  $^{134}\text{I}$ ,  $^{135}\text{I}$ ,  $^{132}\text{Te}$ ,  $^{134}\text{Cs}$ ,  $^{136}\text{Cs}$ ,  $^{137}\text{Cs}$ ,  $^{138}\text{Cs}$ ,  $^{140}\text{Ba}$ ,  $^{140}\text{La}$ ,  $^{141}\text{Ce}$ ,  $^{144}\text{Ce}$ ,  $^{239}\text{Np}$ ,  $^{241}\text{Am}$ .

- prirodni radionuklidi (14 radionuklida):

$^7\text{Be}$ ,  $^{40}\text{K}$ ,  $^{208}\text{Tl}$ ,  $^{212}\text{Bi}$ ,  $^{214}\text{Bi}$ ,  $^{210}\text{Pb}$ ,  $^{212}\text{Pb}$ ,  $^{214}\text{Pb}$ ,  $^{226}\text{Ra}$ ,  $^{228}\text{Ac}$ ,  $^{234\text{m}}\text{Pa}$ ,  $^{234}\text{Th}$ ,  $^{235}\text{U}$ ,  $^{238}\text{U}$ .

Izvješteni su radionuklidi čija je prisutnost pronađena odnosno radionuklidi od posebnog interesa.

## ZAGREB

Razdoblje	<sup>7</sup> Be	<sup>137</sup> Cs	<sup>40</sup> K
	[Bqm <sup>-3</sup> ]		
1.1.-1.2.2023.	(1,80 ± 0,01)E-3	(1,22 ± 0,20)E-6	(7,38 ± 0,22)E-6
1.2.-1.3.2023.	(2,88 ± 0,01)E-3	(8,02 ± 0,24)E-7	(9,52 ± 0,29)E-6
1.3.-31.3. 2023.	(3,92 ± 0,01)E-3	(4,74 ± 0,28)E-7	(1,53 ± 0,02)E-5
31.3.-2.5. 2023.	(2,98 ± 0,01)E-3	(1,98 ± 0,14)E-7	(1,21 ± 0,02)E-5
2.5.-31.5. 2023.	(3,49 ± 0,01)E-3	<2,07E-7	(5,01 ± 0,30)E-6
31.5.-5.7. 2023.	(4,94 ± 0,01)E-3	(2,28 ± 0,23)E-7	(4,44 ± 0,09)E-6
5.7.-18. 2023.	(4,24 ± 0,01)E-3	<3,09E-7	(6,54 ± 0,33)E-6
18.-31.8. 2023.	(4,45 ± 0,04)E-3	<2,79E-7	(7,32 ± 0,44)E-6
31.8.-2.10. 2023.	(4,20 ± 0,01)E-3	<6,02E-7	(1,30 ± 0,09)E-5
2.10.-31.10. 2023.	(3,65 ± 0,01)E-3	(4,20 ± 0,50)E-7	(1,10 ± 0,06)E-5
31.10.-1.12. 2023.	(1,54 ± 0,01)E-3	(5,57 ± 0,72)E-7	(8,40 ± 0,42)E-6
1.12.-2.1.2024.	(1,46 ± 0,01)E-3	(5,38 ± 0,43)E-7	(1,15 ± 0,06)E-5

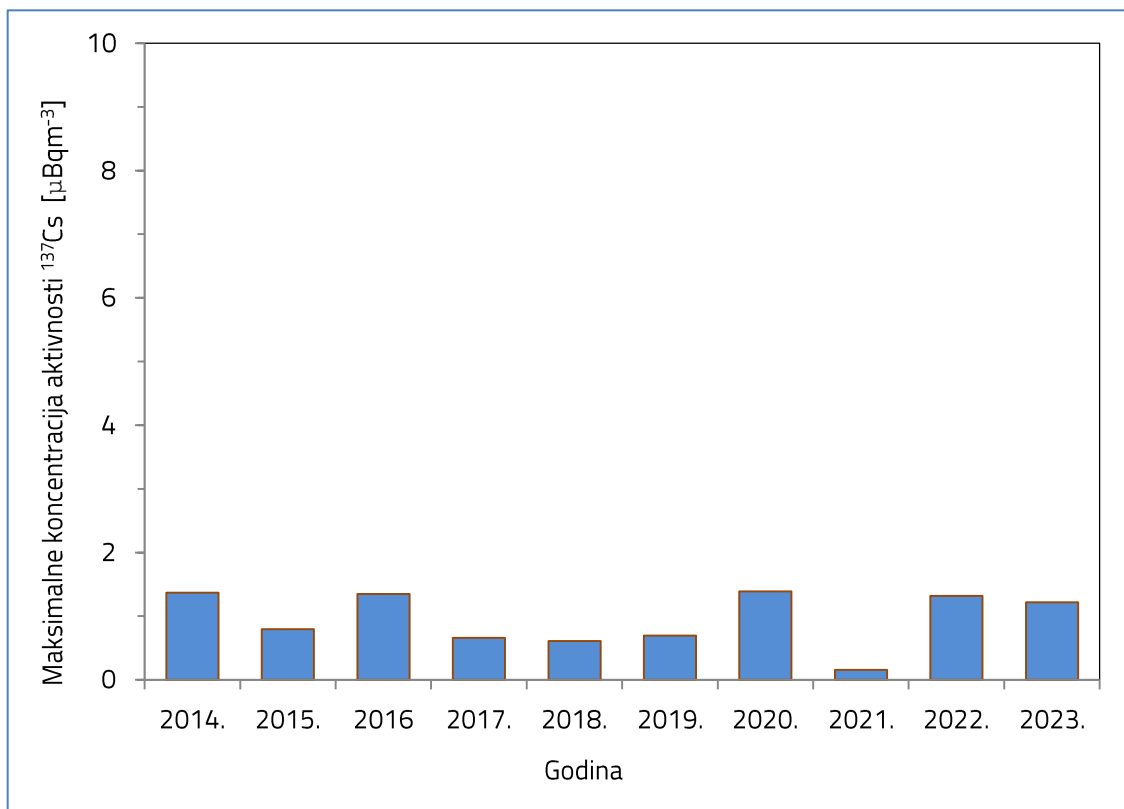
## ZADAR

Mjeseci	<sup>7</sup> Be	<sup>137</sup> Cs	<sup>40</sup> K
	[Bqm <sup>-3</sup> ]		
I, II. i III.	(3,02 ± 0,06)E-3	<4,08E-6	(2,34 ± 0,02)E-4
IV, V. i VI.	(5,77 ± 1,67)E-3	<1,00E-5	(1,97 ± 0,06)E-4
VII, VIII. i IX.	(6,84 ± 0,41)E-3	<6,31E-6	(4,02 ± 0,08)E-4
X, XI. i XII.	(3,08 ± 0,15)E-3	<6,51E-6	(3,32 ± 0,07)E-4

## OSIJEK

Mjeseci	<sup>7</sup> Be	<sup>137</sup> Cs	<sup>40</sup> K
		[Bqm <sup>-3</sup> ]	
I, II. i III.	(4,10 ± 0,08)E-3	<4,33E-6	(4,30 ± 0,04)E-4
IV, V. i VI.	(8,15 ± 2,12)E-3	<8,83E-6	(7,04 ± 0,21)E-4
VII, VIII. i IX.	(5,08 ± 0,41)E-3	<5,36E-6	(2,85 ± 0,06)E-4
X, XI. i XII.	(2,73 ± 0,25)E-3	<5,68E-6	(1,46 ± 0,03)E-4

U uzorcima zraka u Zagrebu najviša vrijednost koncentracije aktivnosti  $^{137}\text{Cs}$  od  $1,22 \mu\text{Bqm}^{-3}$  izmjerena je tijekom siječnja 2023. godine (slika 1.). Od prirodnih radionuklida izmjerene su vrijednosti za kozmogeni  $^7\text{Be}$  i terestrijalni  $^{40}\text{K}$ . Vrijednosti koncentracija aktivnosti  $^7\text{Be}$  u uzorcima zraka skupljenima u Zagrebu nisu odstupale od prošlogodišnjih vrijednosti i kretale su se od  $1,46 \text{ mBqm}^{-3}$  tijekom prosinca 2023. godine do  $4,94 \text{ mBqm}^{-3}$  u lipnju 2023. godine. Koncentracije aktivnosti  $^{40}\text{K}$  kretale su se od  $4,44 \mu\text{Bqm}^{-3}$  u lipnju do  $15,3 \mu\text{Bqm}^{-3}$  u ožujku 2023. godine.



*Slika 1. Najveće koncentracije  $^{137}\text{Cs}$  u mjesecnim uzorcima zraka u gradu Zagrebu tijekom razdoblja 2014. – 2023.*

## 2.5 SPECIFIČNO ODREĐIVANJE $^{90}\text{Sr}$ U ZRAKU

Uzorci zraka skupljaju se pumpanjem velikog volumena zraka pomoću ASS-500 HVS (High volume sampler) pumpe kroz Petrianov filtre (FPP-15-1.5) jedan i pol metar iznad tla. Uzorak se raščinjava dušičnom i klorovodičnom kiselinom uz prisustvo nosača stroncija. Iz dušično kisele otopine najprije se uklanja silicij, a nakon toga se talože stroncij i kalcij koji se kasnije odvajaju pomoću dušične kiseline. Nakon čišćenja ostalih primjesa, otopini stroncija dodaje se itrij nosač ( $^{90}\text{Y}$ ) i ostavi stajati oko šesnaest dana da se postigne radioaktivna ravnoteža. Nakon toga se  $^{90}\text{Y}$  odvaja i mjeri antikoincidentnim beta brojačem niskog osnovnog zračenja Low-level beta GM multicounter system model RISØ GM-25-5A.

ZAGREB

Mjeseci	$^{90}\text{Sr}$ [Bqm $^{-3}$ ]
I-VI.	$(9,94 \pm 3,98) \text{ E-7}$
VII.-XII.	$(2,44 \pm 1,11) \text{ E-7}$

Koncentracija aktivnosti  $^{90}\text{Sr}$  u kompozitnim uzorcima zraka u 2023. godini je malo viša od granice detekcije.

## 2.J SPECIFIČNO ODREĐIVANJE $^{131}\text{I}$ U ZRAKU

### ZAGREB

Uzorci zraka za specifično određivanje izotopa joda skupljaju se neprekidnim pumpanjem zraka kroz filtre za jod (TE1C TEDA Charcoal Cartrige) postavljenih jedan metar iznad tla tijekom 14 dana. Filtri se neposredno po prestanku pumpanja zraka gamaspektrometrijski analiziraju na prisutnost izotopa joda (tijekom 80000 sekundi). Provodi se izračun vremenske korekcije na razdoblje uzorkovanja.

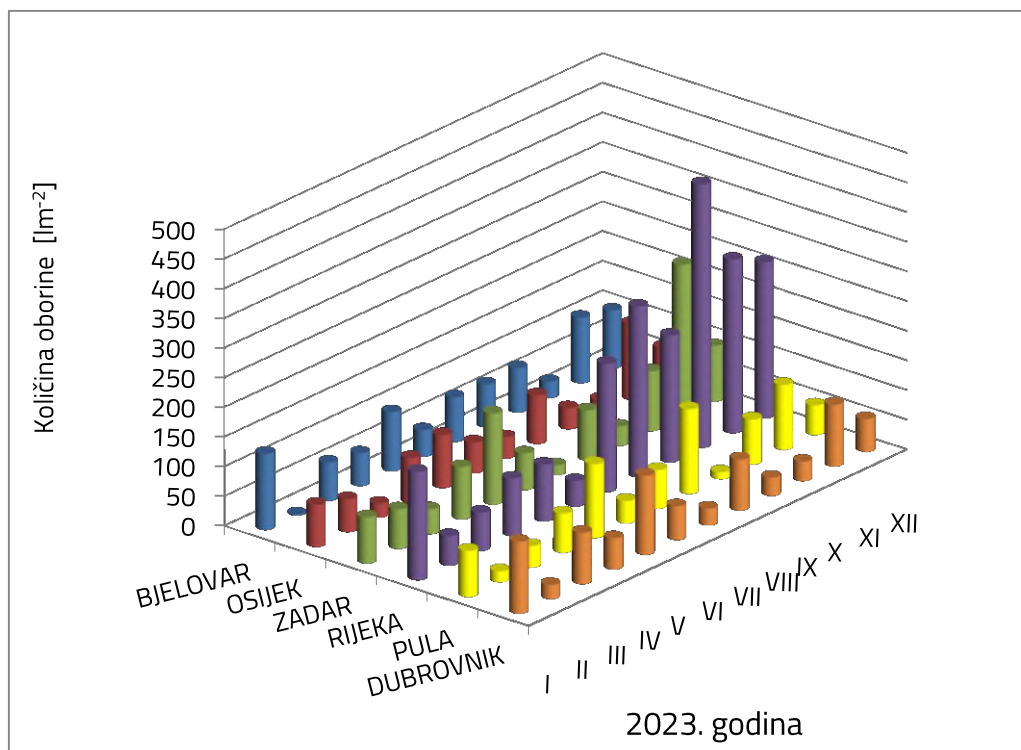
Razdoblje	Specifična aktivnost $^{131}\text{I}$ [Bqm $^{-3}$ ]
9.-16.1. 2023.	< 9,62E-5
31.1.-13.2. 2023.	< 3,77E-5
3.-13.3. 2023.	< 2,23E-5
11.-24.4. 2023.	< 1,52E-5
8.-22.5. 2023.	< 8,39E-6
5.-19.6. 2023.	< 8,39E-6
3.-17.7. 2023.	< 2,36E-5
31.7.-14.8. 2023.	< 2,36E-5
11.-25.9. 2023.	< 2,42E-5
9.-23.10. 2023.	< 2,62E-5
6.-20.11. 2023.	< 2,39E-5
4.-18.12. 2023.	< 2,17E-5

U svim uzorcima u 2023. godini koncentracije aktivnosti  $^{131}\text{I}$  u zraku bile su ispod granice detekcije.

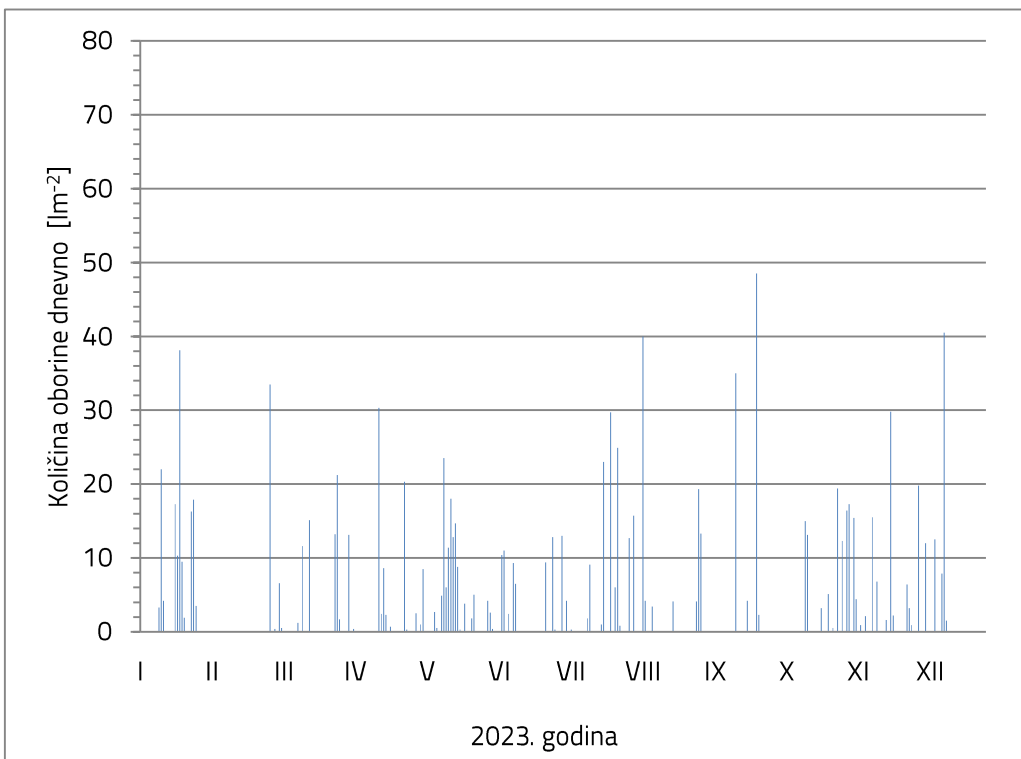
### 3. OBORINA



## KOLIČINA OBORINE U 2023. GODINI



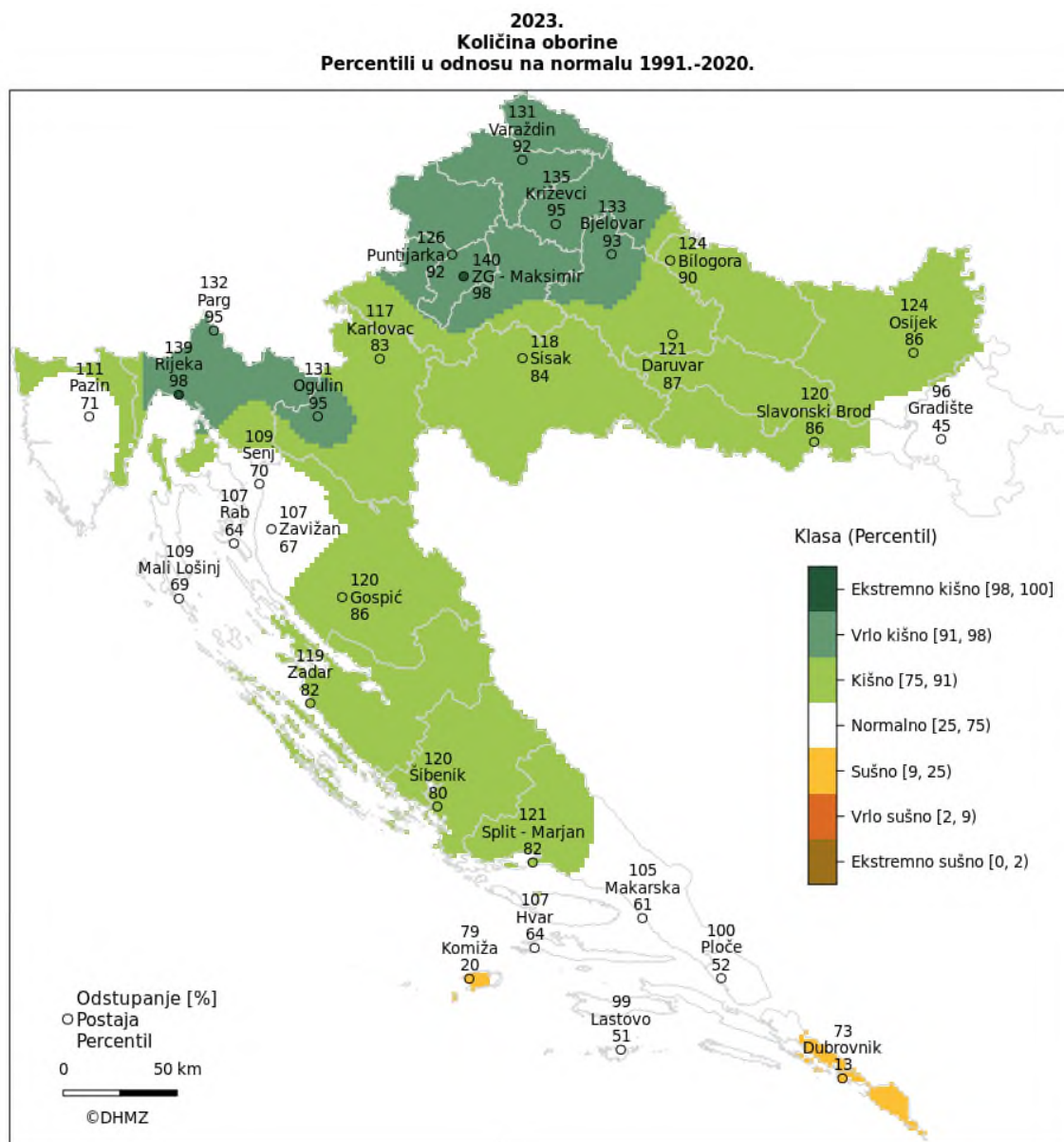
*Slika 2. Količina oborine [Lm<sup>-2</sup>] u Republici Hrvatskoj*



*Slika 3. Količina oborine [Lm<sup>-2</sup>] u Gradu Zagrebu*

## KOLIČINE OBORINE U 2023. GODINI

Analiza godišnjih količina oborine koje su izražene u postotcima (%) višegodišnjeg prosjeka (1991.-2020.) pokazuje da je u 2023. godini u Hrvatskoj na većem broju analiziranih postaja oborine bilo kišno i vrlo kišno u odnosu na prosjek.



*Slika 4. Količina oborine 2023. godine u odnosu na normalu 1991.-2020. (Izvor: DHMZ, 2023)*

Odstupanja količine oborine u 2023. godini u odnosu na normalu 1991. – 2020. nalaze se u rasponu od 73 % višegodišnjeg prosjeka u Dubrovniku (818,1 mm) do 140 % u Zagrebu (1220,2 mm). Analiza odstupanja količina oborine za godinu 2023. izraženih u postotcima (%) višegodišnjeg prosjeka pokazuje da su količine oborine na većini analiziranih postaja bile više od višegodišnjeg prosjeka.

Oborinske prilike u 2023. godini izražene percentilima detaljnije su opisane sljedećim kategorijama: sušno (otok Vis i dubrovačko područje), normalno (krajnji istok Hrvatske, dio gorske Hrvatske, Istra, kvarnerski otoci, dio srednje i južne Dalmacije), kišno (dijelovi istočne, središnje i gorske Hrvatske, sjeverna Dalmacija), vrlo kišno (sjeverni dio središnje Hrvatske, sjeverni dio gorske Hrvatske i šire riječko područje) i ekstremno kišno (Zagreb i Rijeka).

Oborina se skuplja svakodnevno (u dane s oborinom) preko lijevaka površine 1 m<sup>2</sup> postavljenih na jedan metar iznad tla. U dnevnim uzorcima oborine određuje se ukupna beta aktivnost nakon 120 sati od uzorkovanja. Mjerenje beta radioaktivnosti provodi se u antikoincidentnim beta brojaču niskog osnovnog zračenja Low-level beta GM multicounter system model RISØ GM-25-5A. Dnevni se uzorci spajaju u mjesecni (tromjesečni odnosno polugodišnji) zbrojni uzorak koji se uparava za potrebe gamaspektrometrijske analize, te za radiokemijsko određivanje stroncija i eventualno drugih radionuklida.

### 3.B UKUPNA BETA AKTIVNOST OBORINE

#### UKUPNO, PROSJECI, MAKSIMALNE I MINIMALNE VRIJEDNOSTI

ZAGREB

Mjesec (n)*	Količina oborine Lm <sup>-2</sup>	Ukupno	Prosjek	Maksimum	Minimum
				Bqm <sup>-2</sup>	
Siječanj (11)	144,3	3,48	(3,16 ± 0,17)E-1	(9,19 ± 0,39)E-1	(2,19 ± 0,15)E-2
Veljača (2)	33,9	0,38	(1,91 ± 0,22)E-1	(3,64 ± 0,32)E-1	(1,74 ± 0,06)E-2
Ožujak (9)	84,2	1,36	(1,51 ± 0,09)E-1	(3,20 ± 0,12)E-1	(8,70 ± 0,40)E-3
Travanj (9)	67,8	2,11	(2,35 ± 0,13)E-1	(1,33 ± 0,04)E+0	(5,15 ± 0,24)E-3
Svibanj (18)	130,5	2,07	(1,15 ± 0,07)E-1	(3,23 ± 0,17)E-1	(4,37 ± 0,22)E-3
Lipanj (9)	55,2	1,18	(1,31 ± 0,06)E-1	(3,74 ± 0,12)E-1	(8,56 ± 0,34)E-3
Srpanj (12)	126,5	5,03	(4,19 ± 0,17)E-1	(1,95 ± 0,04)E+0	(7,62 ± 0,37)E-3
Kolovoz (8)	104,1	1,77	(2,21 ± 0,15)E-1	(6,64 ± 0,31)E-1	(6,01 ± 0,27)E-2
Rujan (4)	87,8	1,90	(4,57 ± 0,29)E-1	(8,86 ± 0,46)E-1	(4,78 ± 0,17)E-2
Listopad (7)	68,6	1,58	(2,25 ± 0,12)E-1	(5,40 ± 0,14)E-1	(8,27 ± 0,56)E-3
Studeni (14)	122,9	3,70	(2,64 ± 0,17)E-1	(1,69 ± 0,04)E+0	(1,25 ± 0,07)E-2
Prosinc (6)	94,2	1,39	(2,32 ± 0,15)E-1	(6,48 ± 0,31)E-1	(2,34 ± 0,11)E-2
Ukupno	1120	25,95			
Prosjek			(2,48 ± 0,16)E-1		
Maksimum		5,03		(1,95 ± 0,04)E+0	
Minimum		0,38			(4,37 ± 0,22)E-3

\*n - broj dana s oborinom u pojedinom mjesecu

Ukupna beta aktivnost mjerena je u dnevnim uzorcima oborine skupljenim u Zagrebu. Jedna litra dnevnog uzorka propušta se preko iono-izmjenjivačke smole koja se mjeri antikoincidentnim beta brojačem niskog osnovnog zračenja Low-level beta GM multicounter system model RISØ GM-25-5A. Tijekom 2023. godine prosječna vrijednost ukupne beta aktivnosti u oborini iznosila je 0,25 Bqm<sup>-2</sup>. Maksimalna ukupna beta aktivnost od 1,95 Bqm<sup>-2</sup> izmjerena je u srpnju, dok je minimalna ukupna beta aktivnost od 4,37 mBqm<sup>-2</sup> izmjerena u svibnju.

### 3.G GAMASPEKTROMETRIJSKA ANALIZA OBORINE

Gamaspektrometrijska analiza oborine provedena je na tromjesečnim uzorcima skupljenima u Zagrebu i Zadru, te na polugodišnjim uzorcima skupljenima u Bjelovaru, Osijeku, Puli, Rijeci i Dubrovniku.

ZAGREB		$^{7}\text{Be}$	$^{137}\text{Cs}$	$^{40}\text{K}$
Mjeseci				
I. - III.	[Bqm <sup>-3</sup> ]	(2,81 ± 0,03)E+2	< 4,98E+0	(1,98 ± 0,09)E+1
	[Bqm <sup>-2</sup> ]	(7,36 ± 0,07)E+1	< 1,31E+0	(5,20 ± 0,23)E+0
IV. - VI.	[Bqm <sup>-3</sup> ]	(1,75 ± 0,03)E+2	< 7,23E-1	(2,86 ± 0,13)E+1
	[Bqm <sup>-2</sup> ]	(4,55 ± 0,09)E+1	< 1,88E-1	(7,45 ± 0,34)E+0
VII. - IX.	[Bqm <sup>-3</sup> ]	(7,97 ± 0,05)E+2	< 5,18E-1	(3,82 ± 0,13)E+1
	[Bqm <sup>-2</sup> ]	(2,55 ± 0,02)E+2	< 1,66E-1	(1,22 ± 0,04)E+1
X. - XII.	[Bqm <sup>-3</sup> ]	(2,97 ± 0,04)E+2	< 6,60E-1	(1,56 ± 0,10)E+1
	[Bqm <sup>-2</sup> ]	(8,48 ± 0,10)E+1	< 1,89E-1	(4,45 ± 0,29)E+0

ZADAR		$^{7}\text{Be}$	$^{137}\text{Cs}$	$^{40}\text{K}$
Mjeseci				
I. - III.	[Bqm <sup>-3</sup> ]	(2,63 ± 0,21)E+2	< 3,64E+1	< 4,23E+1
	[Bqm <sup>-2</sup> ]	(4,96 ± 0,40)E+1	< 6,85E+0	< 7,97E+0
IV. - VI.	[Bqm <sup>-3</sup> ]	(2,01 ± 0,26)E+2	< 6,12E+0	(6,73 ± 0,54)E+1
	[Bqm <sup>-2</sup> ]	(6,13 ± 0,80)E+1	< 1,87E+0	(2,06 ± 0,17)E+1
VII. - IX.	[Bqm <sup>-3</sup> ]	(7,24 ± 0,87)E+2	< 6,76E+0	(6,22 ± 0,46)E+1
	[Bqm <sup>-2</sup> ]	(9,84 ± 1,18)E+1	< 9,20E-1	(8,46 ± 0,62)E+0
X. - XII.	[Bqm <sup>-3</sup> ]	(1,96 ± 0,19)E+2	< 5,19E+0	< 4,81E+1
	[Bqm <sup>-2</sup> ]	(8,89 ± 0,85)E+1	< 2,35E+0	< 2,18E+1

### 3.G GAMASPEKTROMETRIJSKA ANALIZA OBORINE

OSIJEK Mjeseci		$^{7}\text{Be}$	$^{137}\text{Cs}$	$^{40}\text{K}$
I - VI.	$[\text{Bqm}^{-3}]$	$(1,16 \pm 0,02)\text{E+3}$	$< 2,53\text{E+0}$	$(1,09 \pm 0,06)\text{E+2}$
	$[\text{Bqm}^{-2}]$	$(4,33 \pm 0,09)\text{E+2}$	$< 9,42\text{E-1}$	$(4,07 \pm 0,21)\text{E+1}$
VII - XII.	$[\text{Bqm}^{-3}]$	$(4,93 \pm 0,26)\text{E+2}$	$< 3,20\text{E+0}$	$(1,48 \pm 0,07)\text{E+2}$
	$[\text{Bqm}^{-2}]$	$(1,84 \pm 0,10)\text{E+2}$	$< 1,19\text{E+0}$	$(5,53 \pm 0,26)\text{E+1}$
BJELOVAR Mjeseci		$^{7}\text{Be}$	$^{137}\text{Cs}$	$^{40}\text{K}$
I - VI.	$[\text{Bqm}^{-3}]$	$(3,67 \pm 0,25)\text{E+2}$	$< 3,96\text{E+0}$	$< 4,56\text{E+1}$
	$[\text{Bqm}^{-2}]$	$(1,46 \pm 0,10)\text{E+2}$	$< 1,58\text{E+0}$	$< 1,82\text{E+1}$
VII - XII.	$[\text{Bqm}^{-3}]$	$(8,54 \pm 1,79)\text{E+1}$	$< 3,26\text{E+0}$	$< 3,86\text{E+1}$
	$[\text{Bqm}^{-2}]$	$(3,96 \pm 0,83)\text{E+1}$	$< 1,51\text{E+0}$	$< 1,79\text{E+0}$
PULA Mjeseci		$^{7}\text{Be}$	$^{137}\text{Cs}$	$^{40}\text{K}$
I - VI.	$[\text{Bqm}^{-3}]$	$(4,41 \pm 0,23)\text{E+2}$	$< 2,80\text{E+0}$	$(2,84 \pm 0,21)\text{E+1}$
	$[\text{Bqm}^{-2}]$	$(1,61 \pm 0,08)\text{E+2}$	$< 1,02\text{E+0}$	$(1,03 \pm 0,08)\text{E+1}$
VII - XII.	$[\text{Bqm}^{-3}]$	$(6,18 \pm 0,20)\text{E+2}$	$< 2,64\text{E+0}$	$(3,72 \pm 0,30)\text{E+1}$
	$[\text{Bqm}^{-2}]$	$(2,83 \pm 0,09)\text{E+2}$	$< 1,21\text{E+0}$	$(1,70 \pm 0,14)\text{E+1}$

### 3.G GAMASPEKTROMETRIJSKA ANALIZA OBORINE

RIJEKA		$^{7}\text{Be}$	$^{137}\text{Cs}$	$^{40}\text{K}$
Mjeseci				
I - VI.	[Bqm <sup>-3</sup> ]	(1,07 ± 0,02)E+3	< 2,65E+0	< 3,55E+1
	[Bqm <sup>-2</sup> ]	(5,73 ± 0,13)E+2	< 1,42E+0	< 1,91E+1
VII - XII.	[Bqm <sup>-3</sup> ]	(1,47 ± 0,05)E+4	< 3,79E+0	< 3,26E+1
	[Bqm <sup>-2</sup> ]	(2,53 ± 0,09)E+4	< 6,52E+0	< 5,61E+1

DUBROVNIK		$^{7}\text{Be}$	$^{137}\text{Cs}$	$^{40}\text{K}$
Mjeseci				
I - VI.	[Bqm <sup>-3</sup> ]	(3,30 ± 0,28)E+2	< 5,12E+0	< 5,44E+1
	[Bqm <sup>-2</sup> ]	(1,58 ± 0,13)E+2	< 2,45E+0	< 2,60E+1
VI. - XII.	[Bqm <sup>-3</sup> ]	(2,31 ± 0,05)E+3	< 6,50E+0	< 7,08E+1
	[Bqm <sup>-2</sup> ]	(7,86 ± 0,16)E+2	< 2,21E+0	< 2,41E+1

### 3.5 SPECIFIČNO ODREĐIVANJE $^{90}\text{Sr}$ U OBORINAMA

$^{90}\text{Sr}$  se određuje u zbrojnim mjesecnim (tromjesečnim) uzorcima oborine. Alikvot oborine upari se do suhog. Isparni se ostatak tretira dušičnom kiselinom. Čišćenjem se odstrane sve primjese, a  $^{90}\text{Sr}$  se određuje ekstrakcijom TBP-om. Dodaje se itrij nosač ( $^{90}\text{Y}$ ), odvaja se (radioaktivna ravnoteža sa  $^{90}\text{Sr}$ ) i mjeri antikoincidentnim beta brojačem niskog osnovnog zračenja Low-level beta GM multicounter system model RISØ GM-25-5A.

ZAGREB		$^{90}\text{Sr}$
Mjeseci		
I - III.	$[\text{Bqm}^{-3}]$	$(5,90 \pm 1,40)\text{E-1}$
IV - VI.	$[\text{Bqm}^{-2}]$	$(1,55 \pm 0,37)\text{E-1}$
VII - IX.	$[\text{Bqm}^{-3}]$	$(1,13 \pm 0,11)\text{E+0}$
X - XII.	$[\text{Bqm}^{-2}]$	$(2,86 \pm 0,28)\text{E-1}$
	$[\text{Bqm}^{-3}]$	$(1,22 \pm 0,11)\text{E+0}$
	$[\text{Bqm}^{-2}]$	$(3,88 \pm 0,35)\text{E-1}$
	$[\text{Bqm}^{-3}]$	$< 6,90\text{E-2}$
	$[\text{Bqm}^{-2}]$	$< 1,90\text{E-2}$

Koncentracije aktivnosti  $^{90}\text{Sr}$  u uzorcima oborina uzorkovanih u Zagrebu u 2023. godini ne odstupaju od prošlogodišnjih vrijednosti.

## 4. TLO



## 4.G GAMASPEKTROMETRIJSKA ANALIZA TLA

Uzimanje uzorka tla provodi se bušačem promjera 10 cm na površini od 1 m<sup>2</sup> u slojevima 0 – 5, 5 – 10 i 10 – 15 cm za neobrađeno tlo. Uzorci se suše na 105 °C, prosijavaju kroz sito (2 mm) te pakiraju u Marinelli posude za potrebe gamaspektrometrijske analize.

### ZAGREB

*Datum uzorkovanja: 27.4.2023.*

Sloj [cm]		<sup>137</sup> Cs	<sup>40</sup> K	K
0-5	[Bqkg <sup>-1</sup> ]	(1,10 ± 0,03)E+1	(3,89 ± 0,04)E+2	[gkg <sup>-1</sup> ] (1,26 ± 0,01)E+1
	[Bq m <sup>-2</sup> ]	(4,19 ± 0,13)E+2	(1,49 ± 0,01)E+4	[gm <sup>-2</sup> ] (4,81 ± 0,04)E+2
5-10	[Bqkg <sup>-1</sup> ]	(1,14 ± 0,03)E+1	(3,95 ± 0,04)E+2	[gkg <sup>-1</sup> ] (1,28 ± 0,01)E+1
	[Bq m <sup>-2</sup> ]	(4,37 ± 0,13)E+2	(1,51 ± 0,01)E+4	[gm <sup>-2</sup> ] (4,88 ± 0,05)E+2
10-15	[Bqkg <sup>-1</sup> ]	(1,07 ± 0,02)E+1	(3,69 ± 0,04)E+2	[gkg <sup>-1</sup> ] (1,19 ± 0,01)E+1
	[Bq m <sup>-2</sup> ]	(1,05 ± 0,02)E+1	(3,64 ± 0,04)E+4	[gm <sup>-2</sup> ] (1,18 ± 0,01)E+1

### ZADAR

*Datum uzorkovanja: 22.5.2023.*

Sloj [cm]		<sup>137</sup> Cs	<sup>40</sup> K	K
0-5	[Bqkg <sup>-1</sup> ]	(1,02 ± 0,01)E+1	(2,84 ± 0,03)E+2	[gkg <sup>-1</sup> ] (9,19 ± 0,09)E+0
	[Bq m <sup>-2</sup> ]	(3,91 ± 0,04)E+2	(1,08 ± 0,01)E+4	[gm <sup>-2</sup> ] (3,51 ± 0,04)E+2
5-10	[Bqkg <sup>-1</sup> ]	(7,90 ± 0,08)E+2	(2,10 ± 0,02)E+2	[gkg <sup>-1</sup> ] (6,79 ± 0,07)E+0
	[Bq m <sup>-2</sup> ]	(3,02 ± 0,03)E+2	(8,02 ± 0,08)E+3	[gm <sup>-2</sup> ] (2,59 ± 0,03)E+2
10-15	[Bqkg <sup>-1</sup> ]	(1,02 ± 0,01)E+1	(2,62 ± 0,02)E+2	[gkg <sup>-1</sup> ] (8,46 ± 0,08)E+0
	[Bq m <sup>-2</sup> ]	(1,44 ± 0,01)E+1	(3,71 ± 0,03)E+2	[gm <sup>-2</sup> ] (1,20 ± 0,01)E+1

## 4.G GAMASPEKTROMETRIJSKA ANALIZA TLA

### GOSPIĆ

Datum uzorkovanja: 22.5.2023.

Sloj [cm]		$^{137}\text{Cs}$	$^{40}\text{K}$		K
0-5	$[\text{Bqkg}^{-1}]$	$(1,75 \pm 0,02)\text{E+1}$	$(3,28 \pm 0,03)\text{E+2}$	$[\text{gkg}^{-1}]$	$(1,06 \pm 0,01)\text{E+1}$
	$[\text{Bqm}^{-2}]$	$(6,69 \pm 0,07)\text{E+2}$	$(1,25 \pm 0,01)\text{E+4}$	$[\text{gm}^{-2}]$	$(4,05 \pm 0,04)\text{E+2}$
5-10	$[\text{Bqkg}^{-1}]$	$(5,02 \pm 0,05)\text{E+1}$	$(3,55 \pm 0,04)\text{E+2}$	$[\text{gkg}^{-1}]$	$(1,15 \pm 0,01)\text{E+1}$
	$[\text{Bqm}^{-2}]$	$(1,92 \pm 0,02)\text{E+3}$	$(1,35 \pm 0,01)\text{E+4}$	$[\text{gm}^{-2}]$	$(4,38 \pm 0,05)\text{E+2}$
10-15	$[\text{Bqkg}^{-1}]$	$(4,17 \pm 0,04)\text{E+1}$	$(3,90 \pm 0,04)\text{E+2}$	$[\text{gkg}^{-1}]$	$(1,26 \pm 0,01)\text{E+1}$
	$[\text{Bqm}^{-2}]$	$(1,59 \pm 0,02)\text{E+3}$	$(1,49 \pm 0,02)\text{E+4}$	$[\text{gm}^{-2}]$	$(4,82 \pm 0,05)\text{E+2}$

### OSIJEK

Datum uzorkovanja: 4.5.2023.

Sloj [cm]		$^{137}\text{Cs}$	$^{40}\text{K}$		K
0-5	$[\text{Bqkg}^{-1}]$	$(4,39 \pm 0,13)\text{E+0}$	$(5,74 \pm 0,04)\text{E+2}$	$[\text{gkg}^{-1}]$	$(1,86 \pm 0,01)\text{E+1}$
	$[\text{Bqm}^{-2}]$	$(1,68 \pm 0,05)\text{E+2}$	$(2,19 \pm 0,02)\text{E+4}$	$[\text{gm}^{-2}]$	$(7,09 \pm 0,05)\text{E+2}$
5-10	$[\text{Bqkg}^{-1}]$	$(4,05 \pm 0,16)\text{E+0}$	$(5,30 \pm 0,05)\text{E+2}$	$[\text{gkg}^{-1}]$	$(1,72 \pm 0,02)\text{E+1}$
	$[\text{Bqm}^{-2}]$	$(3,90 \pm 0,16)\text{E+0}$	$(5,10 \pm 0,05)\text{E+2}$	$[\text{gm}^{-2}]$	$(1,65 \pm 0,03)\text{E+1}$
10-15	$[\text{Bqkg}^{-1}]$	$(4,66 \pm 0,19)\text{E+0}$	$(5,50 \pm 0,04)\text{E+2}$	$[\text{gkg}^{-1}]$	$(1,78 \pm 0,01)\text{E+1}$
	$[\text{Bqm}^{-2}]$	$(5,04 \pm 0,20)\text{E+0}$	$(5,94 \pm 0,04)\text{E+2}$	$[\text{gm}^{-2}]$	$(1,92 \pm 0,01)\text{E+1}$

## 4.G GAMASPEKTROMETRIJSKA ANALIZA TLA

### OPUZEN

Datum uzorkovanja: 5.6.2023.

Sloj [cm]		$^{137}\text{Cs}$	$^{40}\text{K}$		K
0-5	$[\text{Bqkg}^{-1}]$	$(5,27 \pm 0,11)\text{E}+0$	$(3,63 \pm 0,04)\text{E}+2$	$[\text{gkg}^{-1}]$	$(1,17 \pm 0,01)\text{E}+1$
	$[\text{Bqm}^{-2}]$	$(2,01 \pm 0,04)\text{E}+2$	$(1,38 \pm 0,01)\text{E}+4$	$[\text{gm}^{-2}]$	$(4,48 \pm 0,04)\text{E}+2$
5-10	$[\text{Bqkg}^{-1}]$	$(6,08 \pm 0,18)\text{E}+0$	$(4,64 \pm 0,05)\text{E}+2$	$[\text{gkg}^{-1}]$	$(1,50 \pm 0,02)\text{E}+1$
	$[\text{Bqm}^{-2}]$	$(2,32 \pm 0,07)\text{E}+2$	$(1,77 \pm 0,02)\text{E}+4$	$[\text{gm}^{-2}]$	$(5,73 \pm 0,06)\text{E}+2$
10-15	$[\text{Bqkg}^{-1}]$	$(4,01 \pm 0,12)\text{E}+0$	$(3,47 \pm 0,04)\text{E}+2$	$[\text{gkg}^{-1}]$	$(1,12 \pm 0,01)\text{E}+1$
	$[\text{Bqm}^{-2}]$	$(1,53 \pm 0,05)\text{E}+2$	$(1,32 \pm 0,01)\text{E}+4$	$[\text{gm}^{-2}]$	$(4,28 \pm 0,04)\text{E}+2$

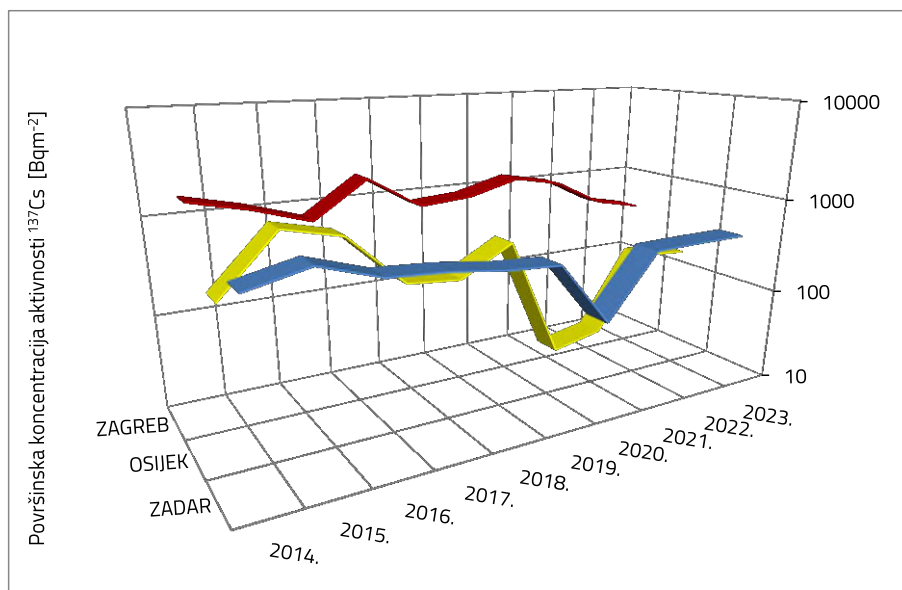
### BUZET

Datum uzorkovanja: 9.5.2023.

Sloj [cm]		$^{137}\text{Cs}$	$^{40}\text{K}$		K
0-5	$[\text{Bqkg}^{-1}]$	$(2,28 \pm 0,02)\text{E}+1$	$(3,76 \pm 0,04)\text{E}+2$	$[\text{gkg}^{-1}]$	$(1,22 \pm 0,01)\text{E}+1$
	$[\text{Bqm}^{-2}]$	$(8,78 \pm 0,09)\text{E}+2$	$(1,44 \pm 0,01)\text{E}+4$	$[\text{gm}^{-2}]$	$(4,65 \pm 0,05)\text{E}+2$
5-10	$[\text{Bqkg}^{-1}]$	$(2,37 \pm 0,02)\text{E}+1$	$(3,76 \pm 0,04)\text{E}+2$	$[\text{gkg}^{-1}]$	$(1,22 \pm 0,01)\text{E}+1$
	$[\text{Bqm}^{-2}]$	$(2,41 \pm 0,02)\text{E}+1$	$(3,83 \pm 0,04)\text{E}+2$	$[\text{gm}^{-2}]$	$(1,24 \pm 0,01)\text{E}+1$
10-15	$[\text{Bqkg}^{-1}]$	$(2,49 \pm 0,03)\text{E}+1$	$(4,19 \pm 0,04)\text{E}+2$	$[\text{gkg}^{-1}]$	$(1,36 \pm 0,01)\text{E}+1$
	$[\text{Bqm}^{-2}]$	$(2,45 \pm 0,03)\text{E}+1$	$(4,14 \pm 0,04)\text{E}+2$	$[\text{gm}^{-2}]$	$(1,34 \pm 0,01)\text{E}+1$

#### 4.G GAMASPEKTROMETRIJSKA ANALIZA TLA

Na slici 5. prikazane su vrijednosti koncentracija aktivnosti  $^{137}\text{Cs}$  [ $\text{Bq}/\text{m}^2$ ] izmjerenih u prvim slojevima neobrađenog tla od 2013. do 2023. godine. Budući da su lokacije Gospić, Opuzen i Buzet uvedene u *Godišnji program praćenja stanja radioaktivnosti u okolišu RH* tek u 2023. godini, nije bilo moguće prikazati trendove.



*Slika 5. Koncentracije aktivnosti  $^{137}\text{Cs}$  [ $\text{Bq}/\text{m}^2$ ] izmjerene u prvim slojevima neobrađenog tla*

Koncentracije aktivnosti  $^{137}\text{Cs}$  izmjerene u prvim slojevima neobrađenih tala iz Zagreba, Zadra i Osijeka nešto su niže od prosječnih vrijednosti u proteklih 10 godina.

#### 4.S SPECIFIČNO ODREĐIVANJE $^{90}\text{Sr}$ U TLU

Uzorci tla se nakon sušenja, prosijavanja i žarenja obrađuju modificiranim Bryantovom metodom. Kalcij služi kao nosač. Kemijsko iskorištenje stroncija dobije se titracijom kalcija na početku i kraju analize. Itrij se istaloži nakon šesnaest dana i mjeri antikoincidentnim beta brojačem niskog osnovnog zračenja Low-level beta GM multicounter system model RISØ GM-25-5A.

#### ZAGREB

Datum uzorkovanja: 27.4.2023.		
$^{90}\text{Sr}$		
Sloj [cm]	$[\text{Bqkg}^{-1}]$	$[\text{Bqm}^{-2}]$
0 - 5	$(1,13 \pm 0,16) \text{ E+0}$	$(5,63 \pm 0,79) \text{ E+1}$
5 - 10	$(1,07 \pm 0,10) \text{ E+0}$	$(5,43 \pm 0,52) \text{ E+1}$
10 - 15	$(0,88 \pm 0,10) \text{ E+0}$	$(5,64 \pm 0,63) \text{ E+1}$

#### ZADAR

Datum uzorkovanja: 22.4.2023.		
$^{90}\text{Sr}$		
Sloj [cm]	$[\text{Bqkg}^{-1}]$	$[\text{Bqm}^{-2}]$
0 - 5	$(1,43 \pm 0,08) \text{ E+0}$	$(6,97 \pm 0,39) \text{ E+1}$
5 - 10	$(0,57 \pm 0,03) \text{ E+0}$	$(2,26 \pm 0,13) \text{ E+1}$
10 - 15	$(0,61 \pm 0,06) \text{ E+0}$	$(2,73 \pm 0,25) \text{ E+1}$

#### OSIJEK

Datum uzorkovanja: 4.5.2023.		
$^{90}\text{Sr}$		
Sloj [cm]	$[\text{Bqkg}^{-1}]$	$[\text{Bqm}^{-2}]$
0 - 5	$(1,05 \pm 0,09) \text{ E+0}$	$(4,11 \pm 0,35) \text{ E+1}$
5 - 10	$(0,40 \pm 0,03) \text{ E+0}$	$(2,06 \pm 0,16) \text{ E+1}$
10 - 15	$(0,38 \pm 0,21) \text{ E+0}$	$(1,62 \pm 0,89) \text{ E+1}$

#### 4.S SPECIFIČNO ODREĐIVANJE $^{90}\text{Sr}$ U TLU

##### GOSPIĆ

Datum uzorkovanja: 22.5.2023.

$^{90}\text{Sr}$		
Sloj [cm]	$[\text{Bqkg}^{-1}]$	$[\text{Bqm}^{-2}]$
0 - 5	$(6,05 \pm 0,60) \text{ E-1}$	$(2,45 \pm 0,25) \text{ E+1}$
5 - 10	$(7,32 \pm 0,32) \text{ E+0}$	$(3,83 \pm 0,17) \text{ E+2}$
10 - 15	$(6,65 \pm 0,34) \text{ E+0}$	$(3,31 \pm 0,17) \text{ E+2}$

##### OPUZEN

Datum uzorkovanja: 5.6.2023.

$^{90}\text{Sr}$		
Sloj [cm]	$[\text{Bqkg}^{-1}]$	$[\text{Bqm}^{-2}]$
0 - 5	$(0,47 \pm 0,04) \text{ E+0}$	$(2,56 \pm 0,22) \text{ E+1}$
5 - 10	$(7,70 \pm 0,39) \text{ E+0}$	$(4,04 \pm 0,21) \text{ E+2}$
10 - 15	$(1,37 \pm 0,15) \text{ E+0}$	$(2,13 \pm 0,86) \text{ E+1}$

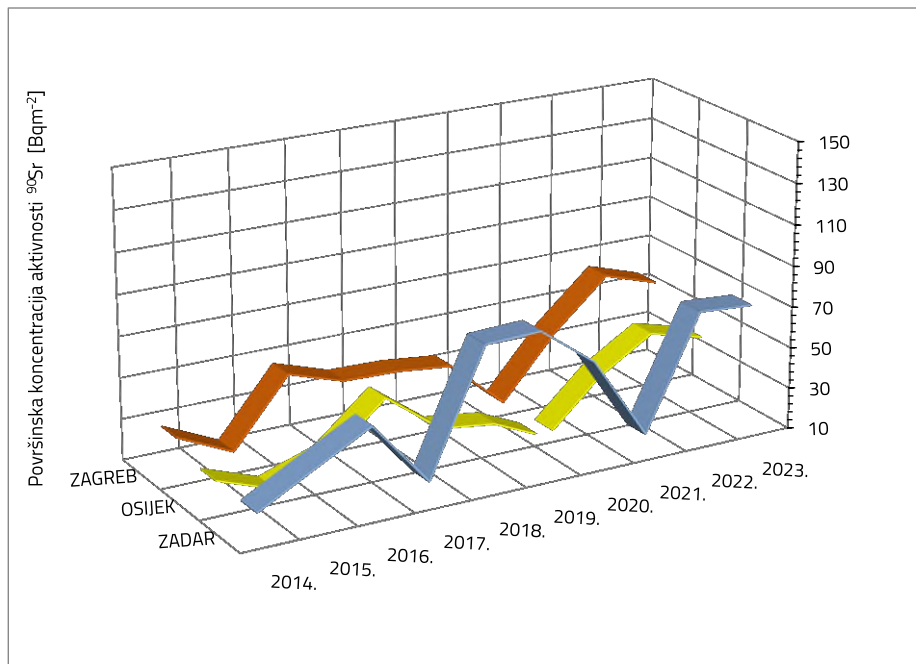
##### ISTRAL

Datum uzorkovanja: 9.5.2023.

$^{90}\text{Sr}$		
Sloj [cm]	$[\text{Bqkg}^{-1}]$	$[\text{Bqm}^{-2}]$
0 - 5	$(0,60 \pm 0,09) \text{ E+0}$	$(3,26 \pm 0,49) \text{ E+1}$
5 - 10	$(2,64 \pm 0,18) \text{ E+0}$	$(1,09 \pm 0,08) \text{ E+2}$
10 - 15	$(0,12 \pm 0,02) \text{ E+0}$	$(5,92 \pm 0,82) \text{ E+0}$

#### 4.S SPECIFIČNO ODREĐIVANJE $^{90}\text{Sr}$ U TLU

Na uzorcima prvih slojeva neobrađenih uzoraka tala, u kojima je gamaspektrometrijski analiziran  $^{137}\text{Cs}$ , radiokemijskom analizom određen je i  $^{90}\text{Sr}$ . Na slici 6. prikazani su trendovi koncentracija aktivnosti  $^{90}\text{Sr}$  u prvim slojevima neobrađenog tla.



*Slika 6. Koncentracije aktivnosti  $^{90}\text{Sr}$  [ $\text{Bq}/\text{m}^2$ ] izmjerene u prvim slojevima neobrađenog tla*

Izmjerene koncentracije aktivnosti  $^{90}\text{Sr}$  u prvim slojevima neobrađenog tla nisu se puno mijenjale u odnosu na 2022. godinu na svim lokacijama uzorkovanja i ne odstupaju u odnosu na višegodišnje prosjeke.

## 5. RIJEKE



## 5.G GAMASPEKTROMETRIJSKA ANALIZA RJEČNIH VODA

Uzorci riječnih voda volumena od 50 L uparavaju se na volumen od jedne litre za potrebe gamaspektrometrijske analize.

Mjesto	Datum uzorkovanja	$^{137}\text{Cs}$	$^{40}\text{K}$	$^{131}\text{I}^*$
[Bqm <sup>-3</sup> ]				
<i>Rijeka SAV/A</i>				
ZAGREB	28.2.2023.	< 1,11E+0	(3,58 ± 0,10)E+1	(5,41 ± 1,08)E+0
	20.4.2023.	< 9,37E-1	(4,27 ± 0,13)E+1	/
	31.5.2023.	< 1,49E+0	(4,16 ± 0,22)E+1	/
	3.8.2023.	< 1,63E+0	(7,63 ± 0,38)E+1	/
	30.10.2023.	< 1,40E+0	(8,88 ± 0,36)E+1	/
	20.21.2023	< 2,04E+0	(4,35 ± 0,24)E+1	/
HARMICA	24.2.2023.	< 1,29E+0	(4,75 ± 0,19)E+1	/
	27.4.2023.	< 5,09E-1	(5,65 ± 0,22)E+1	/
	31.5.2023.	< 1,32E+0	(5,77 ± 0,28)E+1	/
	18.8.2023.	(2,86 ± 0,26)E+0	(2,53 ± 0,06)E+2	/
	8.11.2023.	< 1,752E+0	(1,67 ± 0,05)E+1	/
	11.12.2023.	< 1,98E+0	(1,07 ± 0,05)E+2	/
SISAK	9.3.2023.	(9,45 ± 0,38)E-1	(3,92 ± 0,17)E+1	(1,13 ± 0,18)E+1
	11.5.2023.	< 1,18E+0	(7,70 ± 0,31)E+1	(2,99 ± 0,16)E+1
	14.6.2023.	< 1,48E+0	(5,86 ± 0,35)E+1	(1,71 ± 0,17)E+1
	14.8.2023.	< 1,70E+0	(1,05 ± 0,04)E+2	(6,01 ± 0,84)E+0
	30.10.2023.	< 1,35E+0	(6,29 ± 0,32)E+1	(5,80 ± 0,75)E+0
	13.12.2023.	< 1,58E+0	(1,12 ± 0,04)E+2	/
ŽUPANJA	16.5.2023.	< 1,21E+0	(4,41 ± 0,20)E+1	/
	16.10.2023.	< 2,04E+0	(6,59 ± 0,30)E+1	(9,75 ± 1,27)E+0

\* / = nije pronađen

## 5.G GAMASPEKTROMETRIJSKA ANALIZA RJEČNIH VODA

Mjesto	Datum uzorkovanja	$^{137}\text{Cs}$	$^{40}\text{K}$
		[ $\text{Bqm}^{-3}$ ]	
<i>Rijeka DRAVA</i>			
VARAŽDIN	1.6.2023.	< 1,63E+0	$(6,27 \pm 0,33)\text{E}+1$
	24.10.2023.	< 1,54E+0	$(8,10 \pm 0,41)\text{E}+1$
OSIJEK	4.5.2023.	< 5,87E-1	$(8,06 \pm 0,32)\text{E}+1$
	10.10.2023.	< 1,58E+0	$(7,26 \pm 0,32)\text{E}+1$
<i>Rijeka DUNAV</i>			
BATINA	3.5.2023.	< 1,21E+0	$(8,59 \pm 0,30)\text{E}+1$
	9.10.2023.	< 1,69E+0	$(1,25 \pm 0,05)\text{E}+2$
VUKOVAR	3.5.2023.	< 1,08E+0	$(8,30 \pm 0,28)\text{E}+1$
	9.10.2023.	< 1,65E+0	$(1,00 \pm 0,04)\text{E}+2$
<i>Rijeka NERETVA</i>			
OPUZEN	5.6.2023.	< 1,47E+0	$(2,00 \pm 0,15)\text{E}+1$
<i>Rijeka KRKA</i>			
SKRADIN	11.9.2023.	< 1,66E+0	$(1,46 \pm 0,10)\text{E}+1$

## 5.G GAMASPEKTROMETRIJSKA ANALIZA RJEČNIH VODA

Gamaspektrometrijska analiza provedena je na jednokratno skupljenim uzorcima voda rijeke Drave (Varaždin i Osijek), rijeke Save (Harmica, Sisak, Zagreb i Županja), rijeke Dunav (Batina i Vukovar), rijeke Neretve (Opuzen) i rijeke Krke (Skradin). Najniža mjerljiva koncentracija aktivnosti  $^{137}\text{Cs}$  od  $0,95 \text{ Bqm}^{-3}$  izmjerena je u ožujku u vodi rijeke Save u Sisku, a najviša u kolovozu u rijeci Savi kod Harmice od  $2,86 \text{ Bqm}^{-3}$ . Koncentracija aktivnosti prirodnog  $^{40}\text{K}$  u uzorcima rječnih voda kretala se od  $14,6 \text{ Bqm}^{-3}$  u vodi rijeke Krke u Skradinu u rujnu 2023. godine do  $253 \text{ Bqm}^{-3}$  u rijeci Savi kod Harmice u kolovozu 2023. godine.

## 5.5 SPECIFIČNO ODREĐIVANJE $^{90}\text{Sr}$ U RJEČNIM VODAMA

Upareni ostatak jednokratnog uzorka tretira se dušičnom kiselinom. Čišćenjem se odstranjuju primjese, a stroncij se određuje radiometrijski ekstrakcijom TBP-om. Odvojen kao  $^{90}\text{Y}$  mjeri se antikoincidentnim beta brojačem niskog osnovnog zračenja Low-level beta GM multicounter system model RISØ GM-25-5A.

Mjesto	Datum uzorkovanja	$^{90}\text{Sr}$ [Bqm $^{-3}$ ]
<i>Rijeka Sava</i>		
ZAGREB	28.2.2023.	$(8,03 \pm 1,65)\text{E-1}$
	20.4.2023.	$(3,87 \pm 1,39)\text{E-1}$
	31.5.2023.	$< 1,35 \text{ E-1}$
	30.10.2023.	$(6,40 \pm 2,50)\text{E-1}$
HARMICA	24.2.2023.	$(3,58 \pm 2,22)\text{E-1}$
	27.4.2023.	$< 2,35 \text{ E-1}$
	31.5.2023.	$< 3,69 \text{ E-1}$
	30.10.2023.	$(5,60 \pm 1,70)\text{E-1}$
SISAK	24.2.2023.	$< 3,21 \text{ E-1}$
	27.4.2023.	$(5,67 \pm 1,64)\text{E-1}$
	1.6.2023.	$(4,31 \pm 2,48)\text{E-1}$
	24.10.2023.	$(8,30 \pm 2,10)\text{E-1}$
ŽUPANJA	3.5.2023.	$< 2,17 \text{ E-1}$
	9.10.2023.	$(5,80 \pm 1,50)\text{E-1}$

Mjesto	Datum uzorkovanja	$^{90}\text{Sr}$ [Bqm $^{-3}$ ]
<i>Rijeka DRAVA</i>		
VARAŽDIN	1.6.2023.	< 1,90 E-1
	24.10.2023.	(1,47 ± 0,19)E+0
OSIJEK	4.5.2023.	(2,10 ± 1,90)E-1
	10.10.2023.	(1,34 ± 0,41)E+0

Mjesto	Datum uzorkovanja	$^{90}\text{Sr}$ [Bqm $^{-3}$ ]
<i>Rijeka DUNAV</i>		
VUKOVAR	3.5.2023.	(4,66 ± 2,19)E-1
	9.10.2023.	(3,40 ± 1,90)E-1
BATINA	3.5.2023.	(7,96 ± 0,64)E+0
	9.10.2023.	< 2,10 E-1

## 6. JEZERA



## 6.G GAMASPEKTROMETRIJSKA ANALIZA JEZERSKIH VODA

Jednokratni uzorci jezerskih voda volumena od 50 L uparavaju se na volumen od jedne litre za potrebe gamaspektrometrijske analize.

Mjesto	Datum uzorkovanja	$^{137}\text{Cs}$ [Bqm $^{-3}$ ]	$^{40}\text{K}$
<i>Plitvička jezera</i>			
KOZJAK	7.6.2023.	< 2,04E+0	< 2,96E+1
	26.9.2023.	< 1,67E+0	(2,89 $\pm$ 0,20)E+1
<i>Vransko jezero</i>			
VRANA	22.5.2023.	< 1,89E+0	(5,69 $\pm$ 0,06)E+2
	27.9.2023.	< 2,11E+0	(7,90 $\pm$ 0,10)E+2

## 6.S SPECIFIČNO ODREĐIVANJE $^{90}\text{Sr}$ U JEZERSKIM VODAMA

Upareni ostatak jednokratnog uzorka tretira se dušičnom kiselinom. Čišćenjem se odstranjuju primjese, a stroncij se određuje radiometrijski ekstrakcijom TBP-om. Odvojen kao  $^{90}\text{Y}$  mjeri se antikoincidentnim beta brojačem niskog osnovnog zračenja Low-level beta GM multicounter system model RISØ GM-25-5A.

Mjesto	Datum uzorkovanja	$^{90}\text{Sr}$ [Bqm $^{-3}$ ]
<i>Plitvička jezera</i>		
KOZJAK	7.6.2023.	(2,96 $\pm$ 2,32)E-1
<i>Vransko jezero</i>		
VRANA	22.5.2023.	(5,10 $\pm$ 1,10)E-1

## 7. MORE



## 7.1.G GAMASPEKTROMETRIJSKA ANALIZA MORA

Uzorak od dvadeset do trideset litara mora uzima se jednokratno te se uparava na volumen od jedne litre. Pripremljen i u nepropusne posude zapakiran uzorak stoji šezdeset i šest dana prije mjerjenja kako bi se u uzorku postigla ravnoteža radijevih potomaka nakon čega se provodi gamaspektrometrijska analiza. Sadržaj kalija određuje se gravimetrijski, taloženjem kalignostom (Na-tetrafenilborat).

Mjesto	Datum uzorkovanja	$^{137}\text{Cs} / [\text{Bqm}^{-3}]$	K / [ $\text{gm}^{-3}$ ]
PULA	9.5.2023.	< 5,58E+0	453
	2.10.2023.	< 5,78E+0	338
PLOMINSKI ZALJEV	9.5.2023.	< 3,14E+0	190
	3.10.2023.	< 4,85E+0	309
RIJEKA	9.5.2023.	< 2,29E+0	338
	2.10.2023.	< 4,85E+0	270
ZADAR	23.5.2023.	< 5,11E+0	400
	27.9.2023.	< 4,90E+0	309
KAŠTELANSKI ZALJEV	9.6.2023.	< 5,13E+0	344
	13.9.2023.	< 4,07E+0	278
SPLIT	6.6.2023.	< 5,00E+0	420
	12.9.2023.	< 5,67E+0	334
DUBROVNIK	6.6.2023.	< 5,85E+0	321
	12.9.2023.	< 5,28E+0	353

Morska voda uzorkovana je duž cijele jadranske obale (u Puli, Rijeci, Plominskom zaljevu, Zadru, Kaštelanskom zaljevu, Splitu i Dubrovniku). Vrijednosti koncentracija aktivnosti  $^{137}\text{Cs}$  bile su ispod granice detekcije.

## 7.1.R SPECIFIČNO ODREĐIVANJE $^{226}\text{Ra}$ u MORSKOJ VODI

U jednokratnim uzorcima morske vode provodi se specifično određivanje  $^{226}\text{Ra}$  uz dodatak barijevog nosača. Radij se nakon čišćenja i taloženja određuje brojanjem na alfaspektrometu pomoću Si detektora (PIPS detektor: površine  $450\text{ mm}^2$ , rezolucije za  $^{241}\text{Am}$  od 19 keV).

Mjesto	Datum uzorkovanja	$^{226}\text{Ra} / [\text{Bqm}^{-3}]$
PLOMINSKI	9.5.2023.	$< 8,18\text{E}+0$
ZALJEV	3.10.2023.	$(1,40 \pm 0,47)\text{E}+1$
KAŠTELANSKI	7.6.2023.	$< 7,26\text{E}+0$
ZALJEV	13.9.2023.	$(1,89 \pm 0,52)\text{E}+1$

Koncentracije aktivnosti  $^{226}\text{Ra}$  u uzorcima morske vode u RH ne odstupaju u odnosu na 2022. godinu.

## 7.1.S SPECIFIČNO ODREĐIVANJE $^{90}\text{Sr}$ u MORSKOJ VODI

Ukupno 90 L uzorka mora miješa se 4 h kako bi se istaložili oksalati. Talog se nakon sušenja na  $80\text{ }^{\circ}\text{C}$  spaljuje u peći na  $850\text{ }^{\circ}\text{C}$  tijekom 10h. Stroncij se određuje radiochemijski taloženjem Y. Odvojen kao  $^{90}\text{Y}$  mjeri se antikoincidentnim beta brojačem niskog osnovnog zračenja Low-level beta GM multicounter system model RISØ GM-25-5A.

Mjesto	Datum uzorkovanja	$^{90}\text{Sr} / [\text{Bqm}^{-3}]$
PULA	9.5.2023.	$(6,40 \pm 0,41)\text{E}-1$
RIJEKA	9.5.2023.	$(3,75 \pm 0,32)\text{E}-1$
KAŠTELA	7.6.2023.	$(5,44 \pm 0,40)\text{E}-1$
DUBROVNIK	6.6.2023.	$(1,94 \pm 0,30)\text{E}-1$

Izmjerene vredjenosti koncentracija  $^{90}\text{Sr}$  u uzorcima morske vode iz Pule, Rijeke, Kaštela i Dubrovnika ne razlikuju se značajno od vrijednosti izmjerenih prošlih godina.

## 7.2.G GAMASPEKTROMETRIJSKA ANALIZA MORSKIH MOBILNIH INDIKATORSKIH ORGANIZAMA

Jednokratno skupljeni uzorci indikatorskih organizama spaljuju se postupno u peći na 400 °C. Volumni alikvot pepela mjeri se gamaspektrometrijski.

Mjesto	Vrsta	Datum uzorkovanja	$^{137}\text{Cs}$	$^{40}\text{K}$
			[Bqkg $^{-1}$ ]	
PULA	Muzgavci	10.5.2023.	< 1,79E-2	(3,12 ± 0,02)E+1
RIJEKA	Muzgavci	9.5.2023.	< 2,52E-2	(6,64 ± 0,02)E+1
ZADAR (NOVIGRADSKO MORE)	Muzgavci	24.5.2023.	< 3,41E-2	(5,39 ± 0,03)E+1
SPLIT	Muzgavci	7.6.2023.	< 3,54E-2	(6,88 ± 0,03)E+1
KAŠTELA	Lignjuni	13.9.2023.	< 3,12E-2	(3,99 ± 0,03)E+1
NERETVANSKI ZALJEV	Lignjuni	12.9.2023.	< 3,12E-2	(3,99 ± 0,03)E+1
DUBROVNIK	Muzgavci	6.6.2023.	< 5,35E-2	(7,97 ± 0,05)E+1

Kako bi se dobila potpunija slika o radioaktivnoj kontaminaciji mora, analizirani su i jednokratno skupljeni bioindikatorski organizmi u Puli, Plominskom zaljevu, Rijeci, Novigradskom moru, Splitu, Kaštelama, Neretvanskom zaljevu te Dubrovniku. Koncentracije aktivnosti  $^{137}\text{Cs}$  u uzorcima muzgavaca vrlo su niske i ispod su granica detekcije.

## 7.2.5 SPECIFIČNO ODREĐIVANJE $^{90}\text{Sr}$ U MORSKIM MOBILNIM INDIKATORSKIM ORGANIZMIMA

Uzorci morskih indikatorskih organizama suše se u sušioniku na 105 °C, te se spaljuju u peći na 650 °C. Od dobivenog pepela uzima se alikvotni dio za analizu koji se otapa u dušičnoj kiselini. Standardnom metodom ekstrakcije TBP-om uz dodatak itrij nosača određuje se  $^{90}\text{Sr}$  temeljem radioaktivne ravnoteže s  $^{90}\text{Y}$  koji se mjeri antikoincidentnim beta brojačem niskog osnovnog zračenja Low-level beta GM multicounter system model RISØ GM-25-5A.

Mjesto	Vrsta	Datum uzorkovanja	$^{90}\text{Sr}$ [Bq kg $^{-1}$ ]
PULA	Muzgavci	10.5.2023.	$(2,18 \pm 0,16)\text{E-1}$
RIJEKA	Muzgavci	9.5.2023.	$(4,49 \pm 0,88)\text{E-2}$
ZADAR (NOVIGRADSKO MORE)	Muzgavci	24.5.2023.	$(1,49 \pm 0,58)\text{E-2}$
SPLIT	Muzgavci	7.6.2023.	$(2,75 \pm 0,65)\text{E-2}$
KAŠTELA	Lignjuni	13.9.2023.	$(6,03 \pm 0,90)\text{E-2}$
NERETVANSKI ZALJEV	Lignjuni	12.9.2023.	$(6,87 \pm 0,49)\text{E-1}$
DUBROVNIK	Muzgavci	6.6.2023.	$(2,12 \pm 0,80)\text{E-1}$

## 8. VODA ZA PIĆE

### 8.1. VODOVODNA VODA

### 8.2. SPREMNICI ZA KIŠNICU



## 8.1.G GAMASPEKTROMETRIJSKA ANALIZA VODOVODNIH VODA

Uzorci vodovodne vode u Zagrebu skupljaju se svakodnevno po jednu litru i spajaju u zbrojni tromjesečni uzorak, ukupno oko 90 L. Tako skupljeni uzorci upareni su do volumena od jedne litre i analizirani gamaspektrometrijski. U ostalim mjestima uzimanje uzorka je provedeno jednokratno (volumena oko 50 L).

### ZAGREB

Mjesec	$^{137}\text{Cs}$ [Bqm <sup>-3</sup> ]	$^{40}\text{K}$
I.-III.	< 6,46E-1	(6,02 ± 0,12)E+1
IV.-VI.	< 7,89E-1	(5,64 ± 0,23)E+1
VII.-IX.	< 1,04E+0	(7,90 ± 0,32)E+1
X.-XII.	< 7,89E-1	(3,25 ± 0,13)E+1

### JEDNOKRATNI UZORCI

Mjesto	Datum uzorkovanja	$^{137}\text{Cs}$ / [Bqm <sup>-3</sup> ]
OSIJEK	4.5.2023.	< 1,70E+0
RIJEKA	9.5.2023.	< 2,00E+0
SPLIT	6.6.2023.	< 1,17E+0
DUBROVNIK	6.6.2023.	< 1,43E+0

Koncentracije aktivnosti  $^{137}\text{Cs}$  u svim tromjesečnim i jednokratnim uzorcima vodovodnih voda bile su ispod granica detekcije.

## 8.1.5 SPECIFIČNO ODREĐIVANJE $^{90}\text{Sr}$ U VODOVODNOJ VODI

Upareni ostatak zbrojnog tromjesečnog uzorka tretira se dušičnom kiselinom. Čišćenjem se odstrane sve primjese, a stroncij se odredi radiometrijski ekstrakcijom TBP-om. Odvojen kao  $^{90}\text{Y}$  mjeri se antikoincidentnim beta brojačem niskog osnovnog zračenja Low-level beta GM multicounter system model RISØ GM-25-5A.

### ZAGREB

Mjesec	$^{90}\text{Sr} / [\text{Bqm}^{-3}]$
I.-III.	$(1,30 \pm 1,00)\text{E-1}$
IV.-VI.	$(1,20 \pm 1,00)\text{E-1}$
VII.-IX.	$< 1,20 \text{ E-1}$
X.-XII.	$(2,00 \pm 1,70)\text{E-1}$

### JEDNOKRATNI UZORCI

Mjesto	Datum uzorkovanja	$^{90}\text{Sr} / [\text{Bqm}^{-3}]$
OSIJEK	4.5.2023.	$< 1,80\text{E-1}$
RIJEKA	9.5.2023.	$< 1,60\text{E-1}$
SPLIT	6.6.2023.	$(3,40 \pm 0,33)\text{E+0}$
DUBROVNIK	6.6.2023.	$(1,03 \pm 0,22)\text{E+0}$

Koncentracije aktivnosti  $^{90}\text{Sr}$  u uzorcima vodovodne vode u Zagrebu neznatno su manje u odnosu na 2023. godinu.

## 8.2.G GAMASPEKTROMETRIJSKA ANALIZA VODA IZ SPREMNIKA ZA KIŠNICU

Iz spremnika za kišnicu jednokratno se uzima uzorak volumena od 25 do 50 L i uparava do volumena od jedne litre za potrebe gamaspektrometrijske analize. Pripremljen i u nepropusne posude zapakiran uzorak ostavi se stajati šezdeset i šest dana prije mjerjenja, kako bi u uzorku bila postignuta ravnoteža radijevih potomaka.

Mjesto	Datum uzorkovanja	$^{137}\text{Cs}$ [Bqm $^{-3}$ ]
BALE	2.10.2023.	< 1,54E+0
DOLI	12.9.2023.	< 1,47E+0
MARINA	11.9.2023.	< 1,54E+0
PAG	26.9.2023.	< 1,28E+0

Koncentracije aktivnosti  $^{137}\text{Cs}$  u uzorcima cisternskih voda bile su ispod granica detekcije.

## 8.2.S SPECIFIČNO ODREĐIVANJE $^{90}\text{Sr}$ U VODAMA IZ SPREMNIKA ZA KIŠNICU

Upareni ostatak jednokratnog uzorka tretira se dušičnom kiselinom. Čišćenjem se odstrane sve primjese, a stroncij se odredi radiometrijski ekstrakcijom TBP-om. Odvojen kao  $^{90}\text{Y}$  mjeri se antikoincidentnim beta brojačem niskog osnovnog zračenja Low-level beta GM multicounter system model RISØ GM-25-5A.

Mjesto	Datum uzorkovanja	$^{90}\text{Sr}$ [Bqm $^{-3}$ ]
BALE	2.10.2023.	$(7,30 \pm 2,30)\text{E-1}$
DOLI	12.9.2023.	$(2,06 \pm 0,24)\text{E+0}$
MARINA	11.9.2023.	$(2,08 \pm 0,31)\text{E+0}$
PAG	26.9.2023.	$(4,70 \pm 2,20)\text{E-1}$

Za razliku od prethodne godine ove godine sve koncentracije aktivnosti  $^{90}\text{Sr}$  u uzorcima kišnice bile su mjerljive, tj. iznad granice detekcije.

## 9. TERMALNE VODE



## 9.G GAMASPEKTROMETRIJSKA ANALIZA TERMALNIH VODA

Uzorci volumena približno 50 L uzimaju se jednokratno. Uzorci se zatim uparavaju do volumena od jedne litre za gamaspektrometrijsku analizu. Pripremljen i u nepropusne posude zapakiran uzorak ostavi se stajati šezdeset i šest dana prije mjerenja, kako bi u uzorku bila postignuta ravnoteža radijevih potomaka.

Mjesto	Datum uzorkovanja	$^{137}\text{Cs}$ / [Bqm $^{-3}$ ]
ISTARSKE TOPLICE	2.10.2023.	< 7,92E+0
TUHELJSKE TOPLICE	5.12.2023.	< 4,29E+0
BIZOVAČKE TOPLICE	10.10.2023.	< 2,35E+0

## 9.S SPECIFIČNO ODREĐIVANJE $^{90}\text{Sr}$ U TERMALNIM VODAMA

Upareni ostatak jednokratnog uzorka tretira se dušičnom kiselinom. Čišćenjem se odstrane sve primjese, a stroncij se odredi radiometrijski ekstrakcijom TBP-om. Odvojen kao  $^{90}\text{Y}$  mjeri se antikoincidentnim beta brojačem niskog osnovnog zračenja Low-level beta GM multicounter system model RISØ GM-25-5A.

Mjesto	Datum uzorkovanja	$^{90}\text{Sr}$ [Bqm $^{-3}$ ]
ISTARSKE TOPLICE	2.10.2023.	$(2,40 \pm 1,60)\text{E-1}$
TUHELJSKE TOPLICE	5.12.2023.	< 1,20E+0
BIZOVAČKE TOPLICE	10.10.2023.	$(4,70 \pm 1,40)\text{E-1}$

## 10. MINERALNE IZVORSKE VODE



## 10.G GAMASPEKTROMETRIJSKA ANALIZA MINERALNIH IZVORSKIH VODA

Uzorci volumena približno 50 L uzimaju se jednokratno. Uzorci se zatim uparavaju do volumena od jedne litre za gamaspektrometrijsku analizu. Pripremljen i u nepropusne posude zapakiran uzorak ostavi se stajati šezdeset i šest dana prije mjerenja, kako bi u uzorku bila postignuta ravnoteža radijevih potomaka.

Mjesto	Datum uzorkovanja	$^{137}\text{Cs}$ / [Bqm $^{-3}$ ]
JAMNICA	7.9.2023.	< 2,22E+0
JANA	7.9.2023.	< 1,48E+0

## 10.S SPECIFIČNO ODREĐIVANJE $^{90}\text{Sr}$ U MINERALNIM IZVORSKIM VODAMA

Upareni ostatak jednokratnog uzorka tretira se dušičnom kiselinom. Čišćenjem se odstrane sve primjese, a stroncij se odredi radiometrijski ekstrakcijom TBP-om. Odvojen kao  $^{90}\text{Y}$  mjeri se antikoincidentnim beta brojačem niskog osnovnog zračenja Low-level beta GM multicounter system model RISØ GM-25-5A.

Mjesto	Datum uzorkovanja	$^{90}\text{Sr}$ [Bqm $^{-3}$ ]
JAMNICA	7.9.2023.	$(5,20 \pm 1,50)\text{E-1}$
JANA	7.9.2023.	< 1,70E-1

# 11. PREHRAMBENI ARTIKLI

11.1. MLJEKO

11.2. OSTALA LJUDSKA HRANA

11.3. CJELOVITI OBROCI HRANE



## 11.1.G GAMASPEKTROMETRIJSKA ANALIZA MLJEKA

Skupljani su dnevni uzorci mlijeka i spajani u zbrojne mjesečne ili dvomjesečne, koji se spaljuju pod infracrvenim lampama, a potom u peći postupno na 400 °C. Na alikvotu pepela provodi se gamaspektrometrijska analiza.

### MLJEKARA - ZAGREB

Mjesec	$^{137}\text{Cs}$	
	$[\text{BqL}^{-1}]$	$[\text{Bqg}^{-1}(\text{K})]$
Siječanj	$(3,46 \pm 0,03)\text{E-2}$	$(1,75 \pm 0,16)\text{E-2}$
Veljača	$(1,56 \pm 0,02)\text{E-2}$	$(9,73 \pm 1,15)\text{E-3}$
Ožujak	$(2,03 \pm 0,19)\text{E-2}$	$(1,49 \pm 0,14)\text{E-2}$
Travanj	$<1,70\text{E-2}$	-
Svibanj	$(2,76 \pm 0,55)\text{E-2}$	$(1,58 \pm 0,32)\text{E-2}$
Lipanj	$<1,72\text{E-2}$	-
Srpanj	$(1,53 \pm 0,21)\text{E-2}$	$(1,13 \pm 0,16)\text{E-2}$
Kolovoz	$<1,29\text{E-2}$	-
Rujan	$(2,14 \pm 0,28)\text{E-2}$	$(1,37 \pm 0,18)\text{E-2}$
Listopad	$(2,00 \pm 0,26)\text{E-2}$	$(1,20 \pm 0,16)\text{E-2}$
Studeni	$(2,57 \pm 0,29)\text{E-2}$	$(1,48 \pm 0,17)\text{E-2}$
Prosinac	$<2,11\text{E-2}$	-

## 11.1.G GAMASPEKTROMETRIJSKA ANALIZA MLJEKA

### MLJEKARA - OSIJEK

Mjesec	$^{137}\text{Cs}$	
	$[\text{BqL}^{-1}]$	$[\text{Bqg}^{-1}(\text{K})]$
I.-II.	$< 1,84\text{E-2}$	-
III.-IV.	$< 1,71\text{E-2}$	-
V.-VI.	$< 1,77\text{E-2}$	-
VII.-VIII.	$< 1,60\text{E-2}$	-
IX.-X.	$< 2,17\text{E-2}$	-
XI.-XII.	$< 1,71\text{E-2}$	-

### MLJEKARA - ZADAR

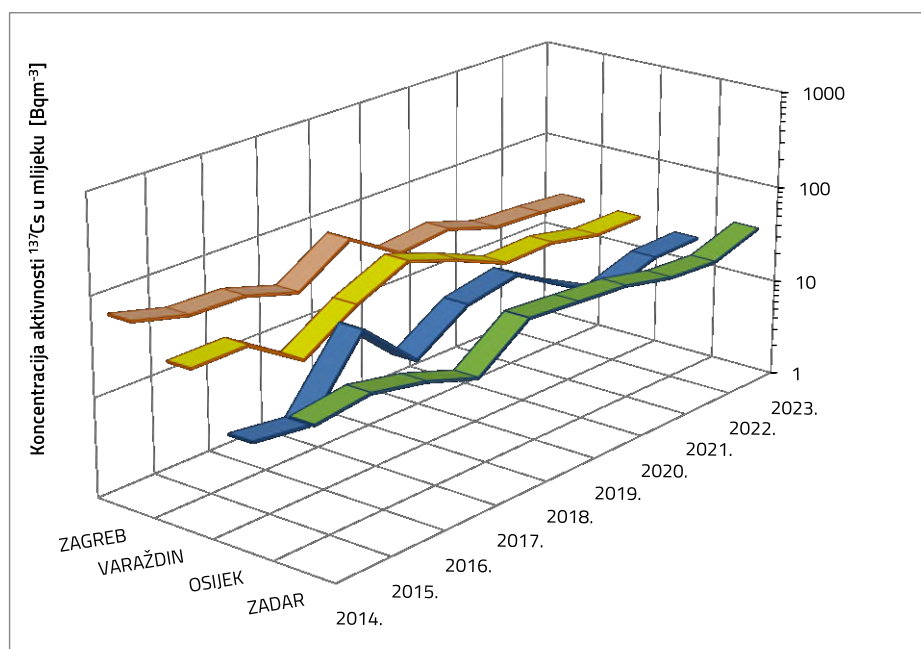
Mjesec	$^{137}\text{Cs}$	
	$[\text{BqL}^{-1}]$	$[\text{Bqg}^{-1}(\text{K})]$
I.-II.	$(2,85 \pm 0,25)\text{E-2}$	$(1,83 \pm 0,16)\text{E-2}$
III.-IV.	$(2,01 \pm 0,27)\text{E-2}$	$(1,24 \pm 0,17)\text{E-2}$
V.-VI.	$< 1,65\text{E-2}$	-
VII.-VIII.	$(2,43 \pm 0,27)\text{E-2}$	$(1,41 \pm 0,16)\text{E-2}$
IX.-X.	$< 2,11\text{E-2}$	-
XI.-XII.	$(2,11 \pm 0,04)\text{E-2}$	$(1,27 \pm 0,03)\text{E-2}$

## 11.1.G GAMASPEKTROMETRIJSKA ANALIZA MLJEKA

### MLJEKARA – VARAŽDIN

Mjesec	$^{137}\text{Cs}$	
	$[\text{BqL}^{-1}]$	$[\text{Bqg}^{-1}(\text{K})]$
I.-II.	$(1,78 \pm 0,34)\text{E-2}$	$(9,49 \pm 1,83)\text{E-4}$
III.-IV.	$(2,79 \pm 0,43)\text{E-2}$	$(1,46 \pm 0,23)\text{E-2}$
V.-VI.	$< 1,37\text{E-2}$	-
VII.-VIII.	$< 1,77\text{E-2}$	-
IX.-X.	$< 1,71\text{E-2}$	-
XI.-XII.	$(1,71 \pm 0,26)\text{E-2}$	$(1,03 \pm 0,16)\text{E-2}$

Gamaspektrometrijske analize provedene su na zbrojnim mjesecnim (Zagreb) i dvomjesečnim uzorcima skupljenima u mljekarama u Osijeku, Zadru, i Varaždinu. Srednje godišnje koncentracije aktivnosti  $^{137}\text{Cs}$  prikazane su na slici 7. i ne odstupaju značajno u odnosu na 2022. godinu.



Slika 7. Srednje godišnje koncentracije aktivnosti  $^{137}\text{Cs}$  u mlijeku zagrebačke, varaždinske, osječke i zadarske mljekare

### 11.1.5 SPECIFIČNO ODREĐIVANJE $^{90}\text{Sr}$ U MLIJEKU

Mjesečni su uzorci mlijeka spaljeni na 650 °C. Alikvot pepela otopi se u dušičnoj kiselini. Standardnom metodom ekstrakcije TBP-om uz dodatak itrij nosača određuje se  $^{90}\text{Sr}$  temeljem radioaktivne ravnoteže s  $^{90}\text{Y}$  koji se mjeri antikoincidentnim beta brojačem niskog osnovnog zračenja Low-level beta GM multicounter system model RISØ GM-25-5A.

MLJEKARA – ZAGREB

Mjesec	$^{90}\text{Sr}$ [BqL <sup>-1</sup> ]
Siječanj	(2,09 ± 0,40)E-2
Veljača	(2,73 ± 0,44)E-2
Ožujak	(2,84 ± 0,36)E-2
Travanj	(2,39 ± 0,33)E-2
Svibanj	(2,67 ± 0,35)E-2
Lipanj	(3,38 ± 0,38)E-2
Srpanj	(2,30 ± 0,32)E-2
Kolovoz	(3,45 ± 0,43)E-2
Rujan	(2,84 ± 0,40)E-2
Listopad	(2,45 ± 0,34)E-2
Studeni	(2,58 ± 0,34)E-2
Prosinac	(2,32 ± 0,34)E-2

### 11.1.5 SPECIFIČNO ODREĐIVANJE $^{90}\text{Sr}$ U MLIJEKU

#### MLJEKARA – OSIJEK

Mjesec	$^{90}\text{Sr}$ [BqL $^{-1}$ ]
I. - II.	$(2,46 \pm 0,30)\text{E-2}$
III.-IV.	$(1,82 \pm 0,36)\text{E-2}$
V.-VI.	$(1,88 \pm 0,27)\text{E-2}$
VII.-VIII.	$(2,69 \pm 0,42)\text{E-2}$
IX.-X.	$(2,06 \pm 0,32)\text{E-2}$
XI. - XII.	$(1,86 \pm 0,37)\text{E-2}$

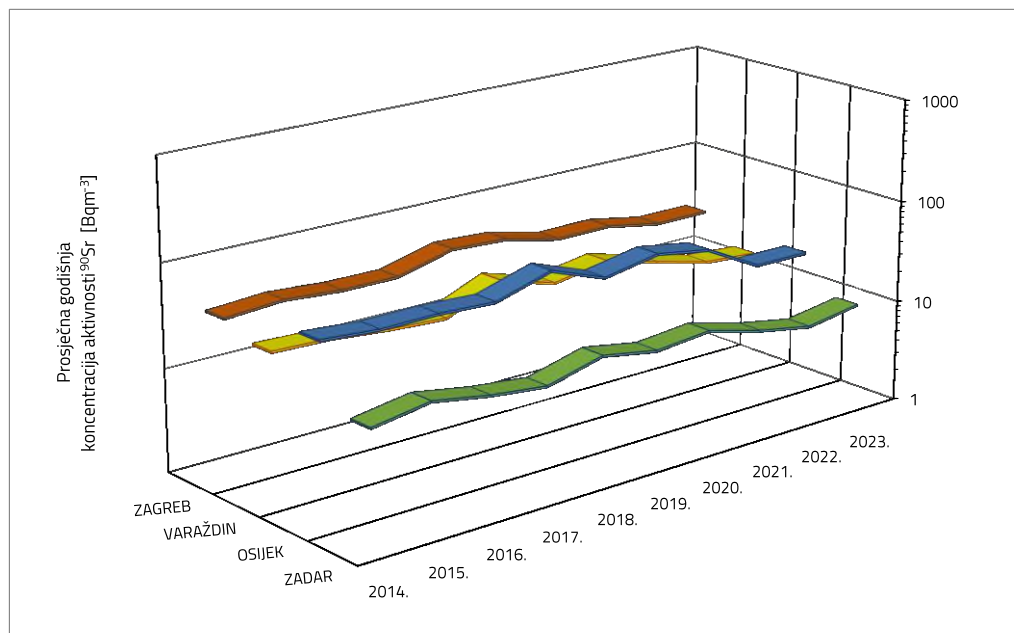
#### MLJEKARA - ZADAR

Mjesec	$^{90}\text{Sr}$ [BqL $^{-1}$ ]
I. - II.	$(7,80 \pm 2,40)\text{E-3}$
III.-IV.	$(9,70 \pm 3,40)\text{E-3}$
V.-VI.	$(1,07 \pm 0,36)\text{E-2}$
VII.-VIII.	$(8,60 \pm 2,50)\text{E-3}$
IX.-X.	$(9,30 \pm 2,90)\text{E-3}$
XI. - XII.	$(1,02 \pm 0,34)\text{E-2}$

## 11.1.5 SPECIFIČNO ODREĐIVANJE $^{90}\text{Sr}$ U MLJEKU

### MLJEKARA - VARAŽDIN

Mjesec	$^{90}\text{Sr}$ [BqL $^{-1}$ ]
I. - II.	(1,09 ± 0,27) E-2
III.-IV.	(1,35 ± 0,29) E-2
V.-VI.	(1,45 ± 0,30) E-2
VII.-VIII.	(1,47 ± 0,31) E-2
IX.-X.	(1,54 ± 0,34) E-2
XI. - XII.	(1,66 ± 0,35) E-2



Slika 8. Srednje godišnje koncentracije aktivnosti  $^{90}\text{Sr}$  u mlijeku zagrebačke, varaždinske, osječke i zadarske mljekare

Koncentracije aktivnosti  $^{90}\text{Sr}$  u uzorcima mlijeka ne odstupaju u odnosu na 2022. godinu.

## 11.2.G GAMASPEKTROMETRIJSKA ANALIZA LJUDSKE HRANE

Uzorci ljudske hrane uzimaju se jednokratno. Nakon sušenja u sušioniku na 105 °C, spaljuju se postupno u peći na 400 °C. Od dobivenog pepela uzima se alikvotni dio za gamaspektrometrijsku analizu.

### REGIJA SJEVEROZAPADNE HRVATSKE

Vrsta	Datum uzorkovanja	$^{137}\text{Cs}$	$^{40}\text{K}$
		[Bqkg $^{-1}$ ]	
Salata	26.4.2023.	< 1,17E-2	(6,32 ± 0,03)E+1
Blitva	26.4.2023.	< 1,72E-2	(1,14 ± 0,05)E+2
Krumpir	18.9.2023.	< 2,38E-2	(1,38 ± 0,03)E+2
Kupus	18.9.2023.	(4,97 ± 0,25)E-2	(6,24 ± 0,02)E+1
Jaja	26.4.2023.	< 3,50E-2	(4,52 ± 0,03)E+1
Grah	18.9.2023.	(6,95 ± 0,95)E-2	(2,52 ± 0,01)E+2
Jabuke	18.9.2023.	< 1,71E-2	(4,52 ± 0,02)E+1
Šljive	18.9.2023.	< 8,32E-3	(2,88 ± 0,01)E+1
Pšenično brašno	29.9.2023.	< 4,16E-2	(1,35 ± 0,01)E+2
Kukuruzno brašno	29.9.2023.	< 6,93E-2	(6,39 ± 0,04)E+1
Junetina	18.9.2023.	(1,22 ± 0,09)E-1	(1,32 ± 0,01)E+2
Svinjetina	18.9.2023.	(6,43 ± 0,61)E-2	(9,85 ± 0,04)E+1
Piletina	26.4.2023.	(4,34 ± 0,62)E-2	(1,19 ± 0,01)E+2
Divljač	27.11.2023.	(2,54 ± 0,03)E+0	(9,97 ± 0,07)E+1
Riba/pastrva	26.4.2023.	(3,88 ± 0,44)E-2	(1,03 ± 0,01)E+2

## 11.2.G GAMASPEKTROMETRIJSKA ANALIZA LJUDSKE HRANE

### SLAVONSKA REGIJA

Vrsta	Datum uzorkovanja	$^{137}\text{Cs}$	$^{40}\text{K}$
		[Bqkg $^{-1}$ ]	
Salata	3.5.2023.	$(2,28 \pm 0,25)\text{E-2}$	$(7,22 \pm 0,02)\text{E+1}$
Krumpir	10.10.2023.	$< 2,36\text{E-2}$	$(1,38 \pm 0,01)\text{E+2}$
Jabuke	10.10.2023.	$< 1,36\text{E-2}$	$(6,39 \pm 0,02)\text{E+1}$
Kupus	10.10.2023.	$< 1,84\text{E-2}$	$(8,91 \pm 0,02)\text{E+1}$
Grah	10.10.2023.	$< 1,40\text{E-1}$	$(4,88 \pm 0,02)\text{E+2}$
Jaja	3.5.2023.	$< 3,44\text{E-2}$	$(4,56 \pm 0,03)\text{E+1}$
Šljive	10.10.2023.	$< 1,41\text{E-2}$	$(5,40 \pm 0,02)\text{E+1}$
Pšenično brašno	10.10.2023.	$< 5,20\text{E-2}$	$(8,15 \pm 0,05)\text{E+1}$
Kukuruzno brašno	10.10.2023.	$< 2,60\text{E-2}$	$(4,51 \pm 0,02)\text{E+1}$
Junetina	10.10.2023.	$< 7,49\text{E-2}$	$(1,03 \pm 0,01)\text{E+2}$
Svinjetina	10.10.2023.	$(8,02 \pm 0,88)\text{E-2}$	$(1,35 \pm 0,01)\text{E+2}$
Piletina	4.5.2023.	$(9,28 \pm 0,67)\text{E-2}$	$(1,34 \pm 0,01)\text{E+2}$
Riba/šaran	4.5.2023.	$(3,47 \pm 0,51)\text{E-2}$	$(8,99 \pm 0,04)\text{E+1}$

## 11.2.G GAMASPEKTROMETRIJSKA ANALIZA LJUDSKE HRANE

### PRIOBALNA REGIJA

Vrsta	Datum uzorkovanja	$^{137}\text{Cs}$	$^{40}\text{K}$
		[Bqkg $^{-1}$ ]	
Salata	23.5.2023.	$(1,41 \pm 0,34)\text{E-2}$	$(7,71 \pm 0,02)\text{E+1}$
Kupus	27.9.2023.	$<1,57\text{E-2}$	$(7,11 \pm 0,02)\text{E+1}$
Krumpir	27.9.2023.	$<2,33\text{E-2}$	$(1,23 \pm 0,01)\text{E+2}$
Jabuke	27.9.2023.	$< 1,32\text{E-2}$	$(3,69 \pm 0,01)\text{E+1}$
Grah	27.9.2023.	$< 1,05\text{E-1}$	$(5,48 \pm 0,01)\text{E+2}$
Jaja	23.5.2023.	$<4,14\text{E-2}$	$(4,11 \pm 0,04)\text{E+1}$
Blitva	23.5.2023.	$< 2,12\text{E-2}$	$(9,12 \pm 0,03)\text{E+1}$
Janjetina	23.5.2023.	$(2,50 \pm 0,09)\text{E-1}$	$(1,07 \pm 0,01)\text{E+2}$
Riba/srdela	23.5.2023.	$(8,48 \pm 0,70)\text{E-2}$	$(1,19 \pm 0,01)\text{E+2}$

Gamaspektrometrijske analize provedene su na uzorcima povrća (salata, grah, kupus, krumpir i blitva), voća (jabuke, šljive), mesa (junjetina, janjetina, piletina), jaja, riba (šaran, pastrva, srdela). Srednje aktivnosti  $^{137}\text{Cs}$ , neovisno o lokaciji skupljanja uzorka, ne odstupaju značajno u odnosu na protekle godine.

## 11.2.5 SPECIFIČNO ODREĐIVANJE $^{90}\text{Sr}$ U LJUDSKOJ HRANI

Uzorci ljudske hrane suše se u sušioniku na 105 °C, te se spaljuju u peći na 650 °C. Od dobivenog pepela uzima se alikvotni dio za analizu koji se otapa u dušičnoj kiselini. Standardnom metodom ekstrakcije TBP-om uz dodatak itrij nosača određuje se  $^{90}\text{Sr}$  temeljem radioaktivne ravnoteže s  $^{90}\text{Y}$  koji se mjeri antikoincidentnim beta brojačem niskog osnovnog zračenja Low-level beta GM multicounter system model RISØ GM-25-5A.

### REGIJA SJEVEROZAPADNE HRVATSKE

Vrsta	Datum uzorkovanja	$^{90}\text{Sr}$ [Bq kg $^{-1}$ ]
Salata	26.4.2023.	$(1,20 \pm 0,08)\text{E-1}$
Blitva	26.4.2023.	$(1,29 \pm 0,12)\text{E-1}$
Krumpir	18.9.2023.	$(2,46 \pm 0,44)\text{E-2}$
Kupus	18.9.2023.	$(7,73 \pm 2,25)\text{E-2}$
Jaja	26.4.2023.	$(1,10 \pm 0,43)\text{E-2}$
Grah	18.9.2023.	$(5,61 \pm 0,99)\text{E-2}$
Jabuke	18.9.2023.	$(2,15 \pm 0,23)\text{E-2}$
Šljive	18.9.2023.	$(2,12 \pm 0,69)\text{E-2}$
Pšenično brašno	29.9.2023.	$(3,29 \pm 0,26)\text{E-1}$
Kukuruzno brašno	29.9.2023.	$(7,17 \pm 0,64)\text{E-2}$
Junetina	18.9.2023.	$(9,10 \pm 5,90)\text{E-3}$
Svinjetina	18.9.2023.	$(3,65 \pm 0,73)\text{E-2}$
Piletina	26.4.2023.	$< 9,20\text{E-3}$
Divljač	27.11.2023.	$(2,48 \pm 0,52)\text{E-2}$
Riba/pastrva	26.4.2023.	$(3,68 \pm 1,12)\text{E-2}$

SLAVONSKA REGIJA

Vrsta	Datum uzorkovanja	<sup>90</sup> Sr
		[Bqkg <sup>-1</sup> ]
Salata	3.5.2023.	(2,16 ± 0,12)E-1
Krumpir	10.10.2023.	(2,14 ± 0,52)E-2
Jabuke	10.10.2023.	(1,37 ± 0,26)E-2
Kupus	10.10.2023.	(5,23 ± 1,94)E-2
Grah	10.10.2023.	(3,49 ± 2,06)E-2
Jaja	3.5.2023.	(5,38 ± 0,62)E-2
Šljive	10.10.2023.	(2,97 ± 0,56)E-2
Pšenično brašno	10.10.2023.	(3,19 ± 0,36)E-2
Kukuruzno brašno	10.10.2023.	(3,90 ± 2,40)E-3
Junetina	10.10.2023.	(1,96 ± 1,44)E-2
Svinjetina	10.10.2023.	< 8,20E-3
Piletina	4.5.2023.	(1,41 ± 0,76)E-2
Riba/šaran	4.5.2023.	(5,61 ± 0,38)E-1

## 11.2.5 SPECIFIČNO ODREĐIVANJE $^{90}\text{Sr}$ U LJUDSKOJ HRANI

### PRIOBALNA REGIJA

Vrsta	Datum uzorkovanja	$^{90}\text{Sr}$ [Bqkg $^{-1}$ ]
Salata	23.5.2023.	(1,22 ± 0,10)E-1
Kupus	27.9.2023.	(9,49 ± 0,97)E-2
Krumpir	27.9.2023.	(1,55 ± 0,42)E-2
Jabuke	27.9.2023.	(8,70 ± 1,50)E-3
Grah	27.9.2023.	(7,19 ± 2,13)E-2
Jaja	23.5.2023.	(2,94 ± 0,57)E-2
Blitva	23.5.2023.	(2,61 ± 0,19)E-1
Janjetina	23.5.2023.	(9,27 ± 0,83)E-2
Riba/srdela	23.5.2023.	(3,07 ± 0,28)E-1

Radiohemija analiza  $^{90}\text{Sr}$  provedena je na istim uzorcima ljudske hrane na kojima je provedena gamaspektrometrijska analiza. Srednje aktivnosti  $^{90}\text{Sr}$ , neovisno o lokaciji skupljanja uzoraka, ne odstupaju u odnosu na 2022. godinu.

### 11.3.G GAMASPEKTROMETRIJSKA ANALIZA CJELOVITIH OBROKA HRANE

Uzorci cjelovitih obroka hrane skupljaju se dnevno tijekom jednog tjedna. Nakon sušenja u sušioniku na 105 °C, uzorci se postupno spaljuju u peći na 400 °C. Od dobivenog pepela uzima se alikvotni dio za gamaspektrometrijsku analizu.

CJELOVITI OBROCI HRANE		$^{137}\text{Cs}$	$^{40}\text{K}$
UZORAK	Vrijeme uzorkovanja	[Bqkg <sup>-1</sup> ]	
Dječji vrtić 1	4.12. - 8.12.2023.	< 1,84E-2	(4,55 ± 0,02)E+1
Dječji vrtić 2	4.12. - 8.12.2023.	< 1,97E-2	(3,41 ± 0,02)E+1
Dječji vrtić 3	10.12. - 14.12.2023.	< 2,22E-2	(3,78 ± 0,02)E+1
Studenska menza 1	12.12. - 16.12.2023.	< 2,51E-2	(5,07 ± 0,03)E+1
Studenska menza 2	12.12. - 16.12.2023.	< 2,95E-2	(4,87 ± 0,02)E+1

Koncentracije aktivnosti  $^{137}\text{Cs}$  u uzorcima cjelovitih obroka hrane ne odstupaju značajno od koncentracija izmjerениh u 2022. godini.

### 11.3.5 SPECIFIČNO ODREĐIVANJE $^{90}\text{Sr}$ U CJELOVITIM OBROCIMA HRANE

Uzorci cjelovitih obroka hrane suše se u sušioniku na 105 °C, te se spaljuju u peći na 650 °C. Od dobivenog pepela uzima se alikvotni dio za analizu koji se otapa u dušičnoj kiselini. Standardnom metodom ekstrakcije TBP-om uz dodatak itrij nosača određuje se  $^{90}\text{Sr}$  temeljem radioaktivne ravnoteže s  $^{90}\text{Y}$  koji se mjeri antikoincidentnim beta brojačem niskog osnovnog zračenja Low-level beta GM multicounter system model RISØ GM-25-5A.

CJELOVITI OBROCI HRANE		$^{90}\text{Sr}$
UZORAK	Vrijeme uzorkovanja	[Bqkg $^{-1}$ ]
Dječji vrtić 1	4.12. - 8.12.2023.	(2,95 ± 0,67)E-2
Dječji vrtić 2	4.12. - 8.12.2023	(2,21 ± 0,53)E-2
Dječji vrtić 3	11.12. - 15.12.2023.	(2,38 ± 0,51)E-2
Studenska menza 1	20.11. - 24.11.2023.	(4,49 ± 0,78)E-2
Studenska menza 2	20.11. - 24.11.2023.	(4,00 ± 0,90)E-2

Koncentracije aktivnosti  $^{90}\text{Sr}$  u uzorcima cjelovitih obroka hrane ne odstupaju značajno u odnosu na 2022. godinu.

## 12. STOČNA HRANA



## 12.G GAMASPEKTROMETRIJSKA ANALIZA STOČNE HRANE

Uzorci stočne hrane uzimaju se jednokratno. Nakon sušenja u sušioniku na 105 °C, spaljuju se u peći postupno na 400 °C. Od dobivenog pepela uzima se alikvotni dio za gamaspektrometrijsko mjerjenje.

Vrsta	Datum uzorkovanja	$^{137}\text{Cs}$	$^{40}\text{K}$
		[Bqkg $^{-1}$ ]	
SLAVONSKA REGIJA Lucerna	3.5.2023.	< 2,92E-1	(1,07 ± 0,01)E+3
SLAVONSKA REGIJA Trava	5.5.2023.	< 1,97E-1	(1,17 ± 0,01)E+3
SLAVONSKA REGIJA Silaža	9.10.2023.	< 1,60E-1	(1,30 ± 0,01)E+2
PRIOBALNA REGIJA Lucerna	27.9.2023.	(6,67 ± 0,33)E-1	(2,18 ± 0,01)E+2
PRIOBALNA REGIJA Trava	22.5.2023.	(1,79 ± 0,32)E-1	(4,10 ± 0,02)E+2
PRIOBALNA REGIJA Silaža	27.9.2023.	(2,95 ± 0,41)E-1	(1,33 ± 0,01)E+2

Koncentracije aktivnosti  $^{137}\text{Cs}$  u uzorcima stočne hrane ne odstupaju od koncentracija izmjerениh prijašnjih godina.

## 12.S SPECIFIČNO ODREĐIVANJE $^{90}\text{Sr}$ U STOČNOJ HRANI

Uzorci stočne hrane suše se u sušioniku na 105 °C, te se spaljuju u peći na 650 °C. Od dobivenog pepela uzima se alikvotni dio za analizu koji se otapa u dušičnoj kiselini. Standardnom metodom ekstrakcije TBP-om uz dodatak itrij nosača određuje se  $^{90}\text{Sr}$  temeljem radioaktivne ravnoteže s  $^{90}\text{Y}$  koji se mjeri antikoincidentnim beta brojačem niskog osnovnog zračenja Low-level beta GM multicounter system model RISØ GM-25-5A.

Vrsta	Datum uzorkovanja	$^{90}\text{Sr}$	
		[Bqkg $^{-1}$ ]	
SLAVONSKA REGIJA Lucerna	3.5.2023.	(4,07 ± 0,22)E+0	
SLAVONSKA REGIJA Trava	5.5.2023.	(1,59 ± 0,13)E+0	
PRIOBALNA REGIJA Lucerna	27.9.2023.	(9,15 ± 0,73)E+0	

Koncentracije aktivnosti  $^{90}\text{Sr}$  u uzorcima stočne hrane ne odstupaju u odnosu na 2022. godinu.

# ZAKLJUČAK



Praćenje stanja radioaktivnosti u okolišu na teritoriju Republike Hrvatske u 2023. godini provedeno je temeljem članka 68. *Zakona o radioološkoj i nuklearnoj sigurnosti* (Narodne novine RH 141/2013; 39/2015; 130/2017; 118/2018; 21/2022; 114/2022) i *Pravilnika o praćenju stanja radioaktivnosti u okolišu* (NN 40/2018; 6/2022).

Uzorkovanja, mjerjenja i radiokemijske analize provodi Zavod za zaštitu od zračenja Instituta za medicinska istraživanja i medicinu rada iz Zagreba neprekidno od 1959. godine prema godišnjem programu praćenja stanja okoliša. U izvještaju su navedene lokacije na kojima se provode mjerjenja i uzimaju uzorci, popis i karakteristike mjerne opreme, opis korištenih metoda te rezultati ispitivanja.

Sva propisana uzorkovanja, mjerjenja i analize provedeni su kako bi se što je moguće bolje procijenila izloženost prosječnog stanovnika Republike Hrvatske ionizirajućem zračenju i posljedice opterećenja izloženosti zračenju svakog pojedinog stanovnika i okoliša u Republici Hrvatskoj. Napominjemo da program praćenja stanja u okolišu u Republici Hrvatskoj za 2023. godinu ne zadovoljava sve uvjete potrebne za cijelovito određivanje izloženosti stanovništva, niti za procjene izloženosti pojedinih grupa stanovništva u populaciji Republike Hrvatske. Za bolju i precizniju procjenu potrebno je planirati veći broj različitih, specifičnih vrsta uzoraka po svim regijama Republike Hrvatske.

Kako se mlijeko smatra jednom od najvažnijih prehrambenih namirnica, procijenjena je godišnja efektivna doza od unosa  $^{137}\text{Cs}$  i  $^{90}\text{Sr}$  mlijekom za odraslog stanovnika Republike Hrvatske. Efektivna doza primljena unosom  $^{137}\text{Cs}$  i  $^{90}\text{Sr}$  mlijekom procijenjena je za odrasle osobe uz pretpostavku godišnje potrošnje mlijeka od 130 litara i podataka o koncentracijama aktivnosti  $^{137}\text{Cs}$  i  $^{90}\text{Sr}$  u mlijeku. Prosječni odrasli stanovnik Republike Hrvatske primio bi konzumacijom 130 litara mlijeka godišnje dozu od 33 nSv unosom  $^{137}\text{Cs}$ , te dozu od 67 nSv unosom  $^{90}\text{Sr}$ .

Procijenimo li efektivnu dozu za dječju populaciju (djecu od dvije do sedam godina starosti) od unosa  $^{137}\text{Cs}$  i  $^{90}\text{Sr}$  cijelovitim obrocima zajedničke vrtičke prehrane (160 kg godišnje) doza iznosi  $< 204$  nSv. Za usporedbu, procijenjena efektivna doza za istu skupinu djece na bazi

unosa 160 litara mlijeka zagrebačke mljekare iznosi 169 nSv. Efektivna doza za studentsku populaciju unosom  $^{137}\text{Cs}$  i  $^{90}\text{Sr}$  hranom u studentskoj menzi (130 kg hrane godišnje) iznosi < 198 nSv. Procijenjena efektivna doza primljena unosom  $^{137}\text{Cs}$  i  $^{90}\text{Sr}$  mlijekom zagrebačke mljekare iznosi 100 nSv.

Prosječna je vrijednost ambijentalnog doznog ekvivalenta procijenjena za Republiku Hrvatsku i iznosi 0,625 mSv.

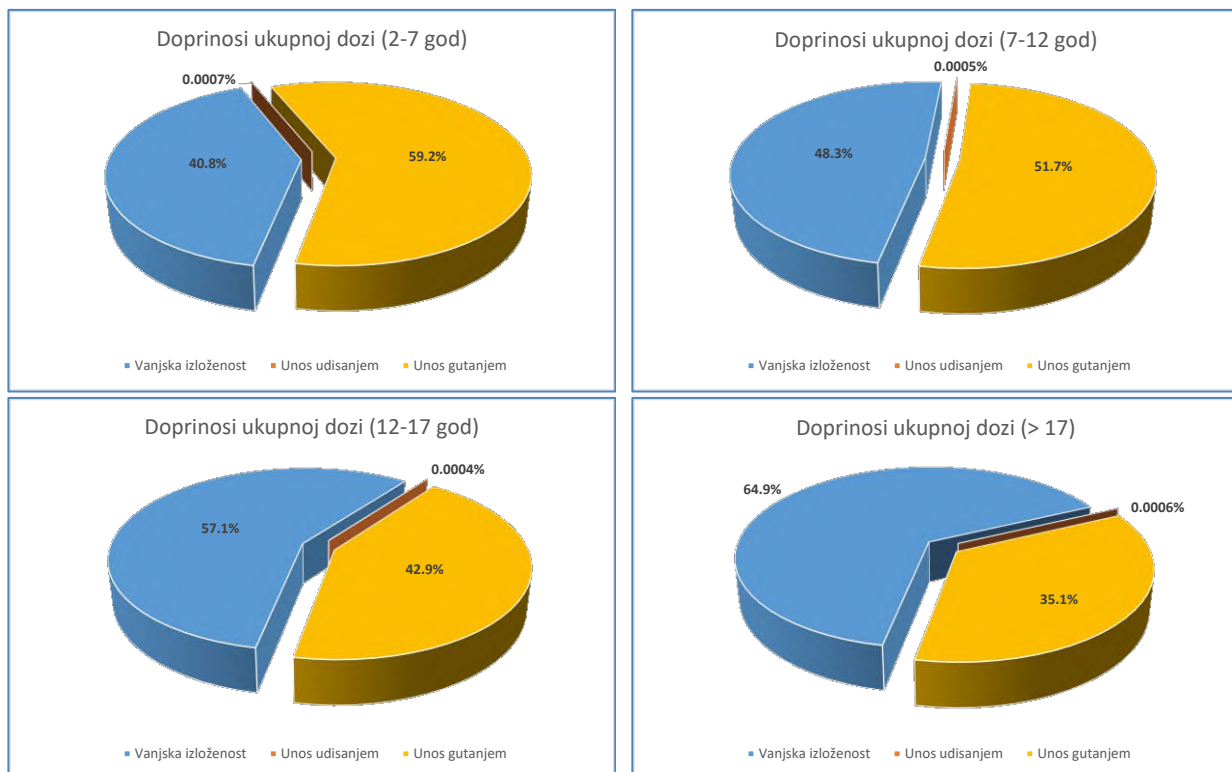
Udisanjem zraka prosječan odrasli stanovnik Hrvatske primio bi 4,1 nSv. U procijenjenoj dozi najveći je doprinos onaj primljen udisanjem  $^7\text{Be}$  (1,8 nSv),  $^{137}\text{Cs}$  (0,9 nSv) i  $^{90}\text{Sr}$  (0,8 nSv). Procijenjena doza za odraslog stanovnika od udisanja zraka istog je reda veličine u odnosu na 2022. godinu.

Uzimanjem u račun prosječnih vrijednosti koncentracija aktivnosti pojedinih vrsta hrane za cijelu zemlju za prosječnog odraslog stanovnika Hrvatske procjena očekivane efektivne doze gutanjem za unos  $^{90}\text{Sr}$  je 0,69  $\mu\text{Sv}$ , za unos  $^{137}\text{Cs}$  0,28  $\mu\text{Sv}$ , a za unos  $^{40}\text{K}$  323  $\mu\text{Sv}$ . Podaci o životnim navikama pripadnika referentne skupine stanovništva temelje se na tablici u Prilogu IV. *Pravilnika o granicama ozračenja, preporučenom doznom ograničenju i procjenjivanju osobnog ozračenja* (NN 38/2018; 8/2023).

Tablica A. Procjena doprinosa godišnjoj efektivnoj dozi za stanovnike RH prema načinu izloženosti: vanjska izloženost, unos udisanjem i unos gutanjem; za dobne skupine: 2-7 godina, 7-12 godina, 12-17 godina i >17 godina starosti.

Dobna skupina	2 – 7 godina	7 – 12 godina	12 – 17 godina	> 17 godina
<b>Procijenjena doprinosa godišnjoj efektivnoj dozi za reprezentativnog stanovnika (mSv/godišnje)*</b>				
Vanjska izloženost	< 0,625			
Unos udisanjem	< 0,001			
Unos gutanjem	< 0,906	< 0,671	< 0,470	< 0,338
<b>UKUPNO</b>	<b>&lt; 1,532</b>	<b>&lt; 1,296</b>	<b>&lt; 1,095</b>	<b>&lt; 0,964</b>

\* prilikom procjene doprinosa efektivnoj dozi, odabran je i konzervativan pristup, u kojem su kao ulazni podaci korištene maksimalne vrijednosti koncentracija aktivnosti radionuklida, te granice detekcije gdje je primjenjivo



Slika 9. Dozno opterećenje prosječnog stanovnika Republike Hrvatske

Istraživanjima radioaktivnosti uzoraka iz okoliša na području Republike Hrvatske nisu zamijećene povišene vrijednosti koje bi povećale ukupnu dozu za stanovništvo Republike Hrvatske u odnosu na onu primljenu prijašnjih godina.

Napominjemo da samim *Pravilnikom o praćenju stanja radioaktivnosti u okolišu* (NN 40/2018; 6/2023) nisu u potpunosti definirana rješenja za sveobuhvatne procjene ukupnih efektivnih doza za populaciju Republike Hrvatske.